

# ΠΡΑΚΤΙΚΑ ΤΗΣ ΑΚΑΔΗΜΙΑΣ ΑΘΗΝΩΝ

## ΣΥΝΕΔΡΙΑ ΤΗΣ 24ΗΣ ΙΑΝΟΥΑΡΙΟΥ 1991

## ΠΡΟΕΔΡΙΑ ΙΩΑΝΝΟΥ ΤΟΥΜΠΑ

ΣΕΙΣΜΟΛΟΓΙΑ.—Τάση κατανομῆς τοῦ σεισμικοῦ δυναμικοῦ κατὰ μῆκος τῆς νήσου Κρήτης, ὑπὸ τοῦ Ἀκαδημαϊκοῦ κ. Ἀγγέλου Γ. Γαλανοπούλου\*.

ΕΙΣΑΓΩΓΗ

Σὲ μιὰ χώρα πολλαχῶς διερρηγμένη μὲ μεγάλο ἀριθμὸ μεσογειακῶν καὶ παρακτίων ἐγκατακρημνισιγενῶν λεκανῶν, μεγάλη ἔκταση πλειοκαινικῶν καὶ μεταπλειοκαινικῶν χαλαρῶν σχηματισμῶν, ὅπως καὶ πρόσφατων προσχώσεων, καὶ πλήθος οἰκισμῶν ἐπὶ κορημάτων ὁρεινῶν κλιτύων καὶ προσχωσιγενῶν κώνων, ὅπως εἶναι ἡ Ἐλλάδα, ὅλοι οἱ οἰκισμοί, στὴν μακρὰ πορείᾳ τοῦ χρόνου, διατρέχουν τὸν κίνδυνο νὰ ὑποστοῦν ἀξιόλογες σεισμικὲς βλάβες τοῦ αὐτοῦ περίπου βαθμοῦ τῆς μακροσεισμικῆς κλίμακας ἐντάσεων, ὑπὸ ὅμοιες δομικὲς συνθῆκες.

Μὲ αὐτὸ τὸ δεδομένο, ἡ σεισμικὴ ἐπικινδυνότητα μᾶς περιοχῆς δὲν μπορεῖ νὰ δρισθεῖ ἀκριβῶς μόνο ἀπὸ τὸ μέγιστο ἀναμενόμενο μέγεθος σεισμοῦ, ἀλλὰ πρέπει νὰ ἔχει καθορισθεῖ γιὰ τὴν περιοχὴ αὐτὴ καὶ ὁ μέσος χρόνος ἐπαναλήψεως ὁμοιόβαθμων σεισμῶν, ὅπως καὶ ὁ μέγιστος χρόνος ἀναμονῆς ἀνάλογου σεισμοῦ ἀπὸ τὸν προηγούμενο τῆς αὐτῆς τάξεως μεγέθους. Δηλαδή, γιὰ νὰ καθορισθεῖ ἀκριβῶς τὸ σεισμικὸ δυναμικὸ μᾶς περιοχῆς πρέπει νὰ γνωρίζουμε, ἐκτὸς ἀπὸ τὸν μέσο χρόνο ἐπαναλήψεως σεισμῶν δρισμένης τάξεως μεγέθους, καὶ τὸν μέγιστο χρόνο ἀναμονῆς αὐτῶν ἀπὸ τὸν προηγούμενο σεισμὸ τῆς αὐτῆς τάξεως μεγέθους. Στὴν πράξη περισσότερο ἐνδιαφέρον περουσιάζει ἡ γνώση τῶν στοιχείων αὐτῶν γιὰ τοὺς σεισμοὺς ποὺ εἶναι δυνατόν, ὑπὸ δρισμένες γεωλογικὲς καὶ δομικὲς συνθῆκες, νὰ προκαλέσουν βλάβες

\* A. G. GALANOPoulos, Earthquake Potential Trend Along the Island of Crete.

VI βαθμοῦ και ἄνω (λ.χ. μὲν μέγεθος  $M_s \geq 5\frac{1}{2}$ ), ἢ και καταστροφὲς VIII βαθμοῦ και ἄνω (λ.χ. μὲν μέγεθος  $M_s \geq 7$ ).

‘Η σεισμικὴ ἀπειλὴ (earthquake hazard) σὲ διασμένη περιοχὴ ἀναφέρεται στὸ σεισμικὸ δυναμικὸ ποὺ ἐνδημεῖ στὴν περιοχὴ αὐτῆ. ‘Ο σεισμικὸς κίνδυνος (earthquake risk) ἀναφέρεται στὴν ἀναμενόμενη βλάβη σὲ ἀνθρώπινες κατασκευὲς και γραμμὲς ζωῆς (life lines) ὡς ἀποτέλεσμα τῆς σεισμικῆς ἀπειλῆς. ‘Ο σεισμικὸς κίνδυνος δὲν εἶναι σὲ ὅλες τὶς σεισμικὲς περιοχὲς ἀνάλογες πρὸς τὸ μέγεθος τοῦ σεισμικοῦ δυναμικοῦ, ἢ τῆς σεισμικῆς ἀπειλῆς, ἢ τὸ μέγεθος τοῦ ἀναμενόμενου σεισμοῦ.

Τὰ δύο αὐτὰ στοιχεῖα ἐπιτρέπουν, ὅπως εἶναι προφανές, μιὰ καλύτερη διαβάθμιση τῆς σεισμικῆς ἐπικινδυνότητας τῶν διαφόρων περιοχῶν τῆς χώρας και ὁρθότερο προγραμματισμὸ τῶν προληπτικῶν μέτρων ποὺ πρέπει νὰ ληφθοῦν ἀπὸ τὴν Πολιτεία γιὰ τὴν μείωση τῶν βλαβῶν ἀπὸ μελλοντικοὺς σεισμούς.

#### ΣΕΙΣΜΙΚΑ ΚΑΙ ΓΕΩΛΟΓΙΚΑ ΔΕΔΟΜΕΝΑ ΚΑΙ ΤΕΧΝΙΚΗ ΥΠΟΛΟΓΙΣΜΟΥ ΤΟΥ ΣΕΙΣΜΙΚΟΥ ΔΥΝΑΜΙΚΟΥ

‘Η παρούσα ἔργασία εἶναι μία πρώτη ἀπόπειρα ἐφαρμογῆς τῆς νέας αὐτῆς μεθόδου ὑπολογισμοῦ τοῦ σεισμικοῦ δυναμικοῦ στὰ διαφόρα διαμερίσματα τῆς Κρήτης, τὰ ὅποια φιλοξενοῦν πολλές χερσαῖες και παράκτιες σεισμικὲς ἐστίες, μερικὲς ἵκανες νὰ ἐλευθερώσουν ἔξαιρετικὰ μεγάλα ποσὰ ἐνέργειας, τῆς αὐτῆς περίπου τάξεως μὲ αὐτὰ ποὺ παρήκθησαν τὴν 21ην Ιουλίου 365 ( $35\frac{1}{2}^{\circ}\text{N}, 23\frac{1}{2}^{\circ}\text{E}$ ) και τὴν 12ην Οκτωβρίου 1856 ( $35\frac{1}{2}^{\circ}\text{N}, 26^{\circ}\text{E}$ ), σὲ χρονικὰ διαστήματα κυμαινόμενα μέσα στὸ ἀντίστοιχο μέγιστο χρόνο ἀναμονῆς των (200-1150 ἔτη).

‘Η Κρήτη εἶναι μέλος τοῦ νότιου κλάδου τοῦ τριτογενοῦς ιζηματογενοῦς τόξου, στὴν ζώνη ἐπαφῆς τῆς Εὐρωπαϊκῆς πλάκας και τῆς πλάκας τῆς Αφρικῆς. Λόγω τῆς συγκλίσεως τῶν δύο πλακῶν, ἡ βόρεια ήμιωκεάνια παρυφὴ τῆς Αφρικῆς (ἢ ὑποπλάκας τῆς ἀνατολικῆς Μεσογείου) βυθίζεται ὡς σφήνα μὲ ΝΔ-ΒΑ κατεύθυνση (Le Pichon and Angelier, 1979) κατωθεν τῆς νότιας ἡπειρωτικῆς παρυφῆς τῆς Εὐρώπης (ἢ ὑποπλάκας τοῦ Αἰγαίου). Μὲ τὴν πίεση ποὺ ἀσκεῖται ἀπὸ τὴν βυθιζόμενη πλάκα προκαλοῦνται σὲ περιόδους διαρρήξεως και ἀνατάσεώς της μικρὰ ἢ μεγάλα ὄλματα ἔξαρσεως τοῦ δυτικοῦ τμήματος τῆς νήσου Κρήτης (Galanopoulos, 1985b). ‘Η ἔξαρση τοῦ τμήματος αὐτοῦ ἐλαττώνεται ἀπὸ τὰ ΝΔ πρὸς τὰ ΒΑ· εἶναι μέγιστη στὴν περιοχὴ τῆς Παλαιοχώρας και ἔλαχιστη λίγα χιλιόμετρα δυτικὰ τοῦ Ρεθύμνου. Κατὰ μῆκος τῆς νότιας ἀκτῆς ἡ ἔξαρση ἐλαττώνεται πρὸς ἀνατολὰς και ἔξαρφανίζεται ἀκριβῶς πρὸ τῆς πεδιάδας τῆς Μεσσαρᾶς (Laborel et al., 1979).

‘Η ἔξαρση αὐτῆ, ὅπως φαίνεται ἀπὸ τὶς μορφολογικὲς ἀναβαθμίδες, ποὺ παρατηροῦνται κυρίως στὴν νότια ἀκτὴ τῆς δυτικῆς Κρήτης, ἐκδηλώνεται ἐνίστε μὲ ὄλματα

σημαντικού ύψους, δύπως πρὸ 1550 χρόνων περίπου (Thomerets et al., 1981b). Τὰ ἄλματα αὐτά, λόγω διαρρήξεως και ἐλαστικῆς ἀνατάσεως και προσωρινῆς ἀνακουφίσεως τῆς καμπτόμενης κάτωθεν τῆς Κρήτης ἡμιωκεάνιας παρουφῆς τῆς ὑποπλάκας τῆς ἀνατολικῆς Μεσογείου, συνοδεύονται ἀπὸ σεισμούς μικρούς ή μεγάλους, ἀναλόγως τοῦ ύψους ἀποτόμου ἐξάρσεως τῆς νήσου ποὺ προκαλεῖται ἀπὸ τὴν ἀνάτασην αὐτῆς.

Λείψανα παλαιών οίκισμῶν στὸν πυθμένα τῆς θάλασσας, ἔξω ἀπὸ τὶς ἀκτὲς τῆς ἀνατολικῆς Κρήτης (Spratt, 1865), ὑποδεικνύουν ὅτι ἡ ἀκτὴ αὐτῆ, ἀντίθετα πρὸς τὴν δυτικὴν ἀκτὴν τῆς νήσου, ὑφίσταται καθίζηση. Ἀπὸ τὶς γεωμορφολογικὲς αὐτὲς ἐνδείξεις διατυπώθηκε ἡ ἄποψη (Raulin, 1869) ὅτι ἡ Κρήτη κλίνει ὡς ἐνιαῖο σύνολο ἐκ δυσμῶν πρὸς ἀνατολάς. Ὁστόσο, τὰ ποικίλης διευθύνσεως ρήγματα (B-N, BBA-NNΔ καὶ BBΔ-ΝΝΑ), ποὺ διασχίζουν τὴν Κρήτη (Faugeres et al., 1987/1988), καὶ κυρίως τὰ ρήγματα ποὺ ὁρίζουν τὶς ρηγματεῖς παρυφὲς τῆς ἐγκάρσιας πλειοκαυνικῆς λεκάνης τῆς κεντρικῆς Κρήτης (βλ. Εἰκ. 1), δὲν φαίνεται νὰ ἐπιτρέπουν τέτοια συνο-

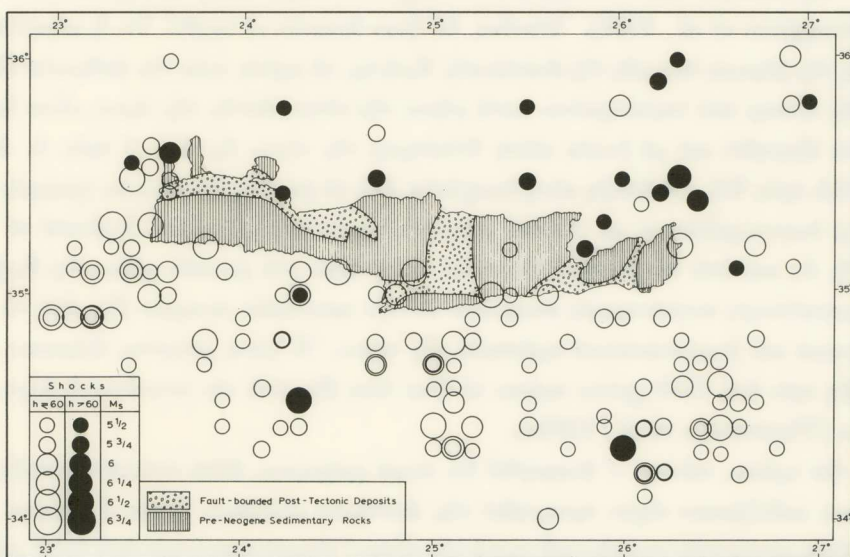


Fig. 1. Simplified sketch of surface geology and tectonic setting of Crete island. Locations of epicenters of crustal shocks and subduction events with  $M_s \geq 5$  1/2 over the period 1958-1987.

λική κίνηση τῆς νήσου. Έπι πλέον, ἐὰν συνέβαινε τέτοια κίνηση, θὰ ἔπρεπε ἡ σεισμικὴ δραστηριότητα στὴν κεντρικὴ Κρήτη νὰ ἥταν πολὺ μικρότερη ἀπὸ αὐτὴ ποὺ παρατηρεῖται στὴ δυτικὴ καὶ ἀνατολικὴ Κρήτη. Τὰ ὑπάρχοντα σεισμολογικὰ στοιχεῖα (βλ. πίνακες 1-5) καὶ οἱ ὑπολογισμοὶ τοῦ χρονικοῦ εύρους ἀναμονῆς ἐκλύσεως σεισμῶν

όρισμένης τάξεως μεγέθους (βλ. πίν. 7) παρουσιάζουν έλαφρως μικρότερο σεισμικό δυναμικό στήν κεντρική, 35°N 25°E, σε σχέση πρὸς τὴν δυτική Κρήτη, 35°N 24°E (μεγαλύτερη περίοδο ἐπαναλήψεως στοὺς καταστρεπτικοὺς σεισμοὺς μεγέθους 7 καὶ ἐπάνω) καὶ στήν ἀνατολικὴ Κρήτη, 35°N 26°E (μεγαλύτερη περίοδο ἐπαναλήψεως στοὺς βλαβεροὺς σεισμοὺς μεγέθους 5 1/2 καὶ ἐπάνω), ἀλλὰ ἡ ἔνδειξη αὐτῇ δὲν φαίνεται ἐπαρκῶς σαφῆς γιὰ τὴν στήριξη τῆς ἀποψῆς ὅτι ἡ κεντρικὴ Κρήτη βρίσκεται στὸν ἀξονα στροφῆς καὶ κλίσεως τῆς νήσου.

Γεωμορφολογικὲς ἔρευνες στὰ Τυρρήνια καὶ ἰστορικὰ παράλια τῆς νοτιοανατολικῆς Κρήτης ἔδειξαν ὅτι ἡ βαθμιαίᾳ ἐκ δυσμῶν πρὸς ἀνατολὰς αὔξηση τῆς κλίσης ποὺ παρατηρεῖται κατὰ μῆκος τῆς νότιας ἀκτῆς τῆς νήσου εἶναι περισσότερο αἰσθητὴ στὴ βόρεια πλευρὰ τῆς ἀνατολικῆς Κρήτης. Αὐτὸν ὑποδεικνύει ὅτι ἡ χερσόνησος τῆς Σητείας ἀποτελεῖ χωριστὸ λιθοσφαιρικὸ τέμαχος, τελείως ἀποκομμένο ἀπὸ τὴν ὑπόλοιπη Κρήτη μὲ τὴν τεκτονικὴ τάφρο 'Αγίου Νικολάου-Ιεράπετρας, καὶ τὸ τέμαχος αὐτὸν παρουσιάζει, ἀπὸ τὸ Τυρρήνιο τουλάχιστον, σαφὴ τάση κλίσης πρὸς τὰ ΒΑ (Montaggioni et al., 1981). 'Ωστόσο, θὰ ἥταν δυνατὸν νὰ λεχθεῖ, ὅτι ἡ μεγαλύτερη κλίση τῆς βόρειας πλευρᾶς τῆς ἀνατολικῆς Κρήτης, σὲ σχέση πρὸς τὴν βαθμιαίᾳ αὔξηση τῆς κλίσης ποὺ παρατηρεῖται κατὰ μῆκος τῆς νότιας ἀκτῆς τῆς νήσου, εἶναι δυνατὸν νὰ ἔξηγηθεῖ καὶ μὲ ἔνιαίᾳ κλίσῃ ὀλόκληρης τῆς νήσου ὅχι ἀπὸ Δ πρὸς Α, ἀλλὰ ἀπὸ ΝΔ πρὸς ΒΑ. 'Η ἀποψὴ αὐτῇ ἐνισχύεται ἀπὸ τὸ γεγονός ὅτι παλαιές γραμμὲς τῆς ἀκτῆς διασταυρώνονται μὲ γνωστὰ ρήγματα χωρὶς παραμόρφωση (Laborel et al., 1979), ὡς καὶ ἀπὸ τὴν πενιχρὴ παρουσίᾳ ἐπικέντρων στὸ χερσαῖο μέρος τῆς Κρήτης καὶ μεγαλύτερη συγκέντρωση σεισμικῶν ἐστιῶν κανονικῶν σεισμῶν ἔξω ἀπὸ τὰ νοτιοδυτικὰ καὶ βορειανατολικὰ κράσπεδα τῆς νήσου. 'Η ζώνη μέγιστης ἔξάρσεως ποὺ συνέβη πρὸ 1550 χρόνια πρέπει νὰ ἥταν λίγο ἔξω ἀπὸ τὴν νοτιοδυτικὴ ἀκρη τῆς νήσου (Thomeret's et al., 1981a).

Θὰ πρέπει, πάντως ν' ἀναφερθεῖ ὅτι σειρὰ γρήγορων, ἀλλὰ τοπικῶν, μικρῆς ἐκτάσεως καθιζήσεων εἶχαν προηγηθεῖ τῆς ἀποτόμου ἔξάρσεως ὕψους 9 μέτρων ποὺ συνέβηκε κοντά στὴν νοτιοδυτικὴ γωνιὰ τῆς νήσου ('Ελαφρόνησος) πρὸ 1550 χρόνια περίπου· ὄκτα ἀπὸ αὐτὲς συνέβηκαν πρὸ 4200 ἔως 1700 χρόνια περίπου καὶ σὲ μία περίπτωση τουλάχιστον ἡ καθιζηση φαίνεται νὰ συνέβηκε μετὰ ἀπὸ κατακόρυφη ἀντίθετη κίνηση δεκαμετρικῆς τάξεως καὶ βραχείας διάρκειας (Thomeret's et al., 1981b). Αὐτὸν μαρτυρεῖ ὅτι οἱ καθιζήσεις αὐτὲς εἶναι ἀποτέλεσμα βαθμιαίας ἐπαναφορᾶς τῆς ὑπερκείμενης πτέρυγας τοῦ ρήγματος στὴν ὄριζόντια θέση λόγω ἀποτόμου ἀνατινάξεως τῆς στὴν περιοχὴ διαρρήξεως ἐπάνω ἀπὸ τὴν θέση αὐτῇ ποὺ εἶναι ἀπαλλαγμένη ἐλαστικῶν τάσεων (Γαλανόπουλος, 1971). Στὴν νότια ἀκτὴ τῆς δυτικῆς Κρήτης σημειώθηκαν 4 τουλάχιστον διαρρήξεις πρὸ 1550 χρόνια περίπου.

Για τὴν καλύτερη παρουσίαση τῆς κατανομῆς τοῦ σεισμικοῦ δυναμικοῦ κατὰ μῆκος τῆς νήσου Κρήτης χωρίστηκε ὁ σεισμικὸς χῶρος τῆς νήσου ( $34^{\circ}\text{N}36^{\circ}, 22^{\circ}\text{E}28^{\circ}$ ) σὲ πέντε συνεχόμενα διαμερίσματα-τετράγωνα ἐπιφάνειας 4 τετραγωνικῶν μοιρῶν ( $2^{\circ} \times 2^{\circ}$ ). Τὰ διαμερίσματα αὐτὰ ἀλληλοκαλύπτονται κατὰ τὸ ἥμισυ ( $1^{\circ} \times 2^{\circ}$ ) ἀπὸ γειτονικά τῶν ( $34^{\circ}\text{N}36^{\circ}, 22^{\circ}\text{E}24^{\circ} - 34^{\circ}\text{N}36^{\circ}, 23^{\circ}\text{E}25^{\circ} - 34^{\circ}\text{N}36^{\circ}, 24^{\circ}\text{E}26^{\circ} - 34^{\circ}\text{N}36^{\circ}, 25^{\circ}\text{E}27^{\circ}$  καὶ  $34^{\circ}\text{N}36^{\circ}, 26^{\circ}\text{E}28^{\circ}$ ). Οἱ τιμὲς τοῦ σεισμικοῦ δυναμικοῦ ποὺ ὑπολογίζονται γιὰ κάθε τετράγωνο ἀναφέρονται στὸ κέντρο του ( $35^{\circ}\text{N}, 23^{\circ}\text{E} - 35^{\circ}\text{N}, 24^{\circ}\text{E} - 35^{\circ}\text{N}, 25^{\circ}\text{E} - 35^{\circ}\text{E}, 26^{\circ}\text{E}$  καὶ  $35^{\circ}\text{N}, 27^{\circ}\text{E}$ ).

Τὰ σεισμικὰ δεδομένα γιὰ τὴν παρούσα ἐργασία καλύπτουν τὴν περίοδο 1958-1987. Πρὸιν ἀπὸ τὸ 1958 οἱ σεισμοὶ τοῦ Ἐλληνικοῦ χώρου ἀναγράφονταν ἀπὸ σεισμογράφους μὲν μηχανικὴ ἀναγραφή. Λόγω τῆς μικρῆς μεγεθύνσεως τῶν ὀργάνων αὐτῶν δὲν ὑπάρχει πλήρης κάλυψη τῶν σεισμῶν μεγέθους 5 1/2 - 6 (Galanopoulos, 1989b). Τὸ ὄλικὸ γιὰ τὴν περίοδο 1958-1983 λήφθηκε ἀπὸ δύο προηγούμενες δημοσιεύσεις (Galanopoulos 1977 καὶ 1985a) καὶ γιὰ τὴν περίοδο 1984-1987 ἀπὸ χειρόγραφο κατάλογο μὲ σεισμικὰ μεγέθη ἐπιφανειακῶν κυμάτων ( $M_s$ ) ὑπολογισμένα ἀπὸ τὸ πλῆθος τῶν σταθμῶν καὶ τὴν μέγιστη ἀπόσταση ἀναγραφῆς τῶν (Galanopoulos and Makropoulos, 1981). Η πλήρης ἀνταπόκριση τῶν μεγεθῶν αὐτῶν στὴν ἐμπειρικὴ σχέση συχνότητας-μεγέθους Gutenberg-Richter (1941) μαρτυρεῖ ὅτι τὰ μεγέθη ποὺ ὑπολογίζονται κατὰ τὴν μέθοδο αὐτὴ εἶναι σύμφωνα μεταξύ τῶν (self-consistent). Οἱ ὑπόλοιποι σεισμικοὶ παράμετροι ἔχουν ληφθεῖ ἀπὸ τοὺς σεισμικοὺς καταλόγους τοῦ Διεθνοῦς Σεισμολογικοῦ Κέντρου (ISC).

Οἱ σεισμοὶ τῆς περιόδου 1958-1987 ποὺ προέρχονταν ἀπὸ τὸν σεισμικὸ χῶρο τῆς Κρήτης ( $34^{\circ}\text{N}36^{\circ}, 22^{\circ}\text{E}28^{\circ}$ ) κατανεμήθηκαν σὲ 5 ἐπὶ μέρους καταλόγους σεισμῶν (π.ν. 1-5) ποὺ προέρχονταν ἀπὸ τὰ διαμερίσματα-τετράγωνα ἐπιφανείας 4 τετραγωνικῶν μοιρῶν ποὺ ἀναφέρθηκαν προηγουμένως. Οἱ ἐπόμενοι πίνακες 1-5 μὲ πρόσθετους δεῖκτες A,B,C, παρέχουν τὴν τεχνικὴ καὶ τὰ ἔξαγρόμενα ὑπολογισμοῦ τῶν ἀντίστοιχων ἐμπειρικῶν σχέσεων συχνότητας-μεγέθους καὶ συχνότητας-πραγματικῶν χρόνων ἐπαναλήψεως. Τέλος στὸν πίνακα 6 δίδεται γιὰ τὸ κέντρο κάθε τετραγώνου-σεισμικῆς πηγῆς τὸ εῦρος περιόδων ἐπαναλήψεως τῶν σεισμῶν μεγέθους 5 1/2 καὶ ἄνω ποὺ εἶναι δυνατὸν ὑπὸ ὅρισμένες συνθῆκες νὰ προκαλέσουν βλάβες VI βαθμοῦ καὶ ἄνω, καὶ τῶν σεισμῶν μεγέθους 7 καὶ πάνω ποὺ εἶναι δυνατὸν ὑπὸ ὀνάλογες συνθῆκες νὰ προκαλέσουν καταστροφές VIII βαθμοῦ καὶ ἄνω. "Οπως ἀναφέρθηκε προηγουμένως, τὸ εῦρος τῶν περιόδων ἐπαναλήψεως τῶν σεισμῶν αὐτῶν ἀποτελεῖ συγκρίσιμο δεῖκτη τοῦ μεγέθους τοῦ σεισμικοῦ δυναμικοῦ πηγῶν ἵσης ἐπιφάνειας.

## ΣΧΟΛΙΑ ΕΠΙ ΤΩΝ ΕΞΑΓΟΜΕΝΩΝ ΚΑΙ ΣΥΜΠΕΡΑΣΜΑΤΑ

Από τὸν ἐστιακὸ χῶρο τῆς Κρήτης ( $34^{\circ}\text{N}36^{\circ}$ ,  $22^{\circ}\text{E}28^{\circ}$ ) ἀναγράφηκαν σὲ διάστημα 30 ἔτῶν (1958-1987) 241 σεισμικὲς δονήσεις μεγέθους  $M_s \geq 5 \frac{1}{2}$ . Απὸ τὶς δονήσεις αὐτὲς μόνον 6, ἡτοι 2,5% περίπου, προκάλεσαν σεισμικὲς βλάβες ἐντάσεως VII καὶ ἐπάνω, καὶ ἀπὸ αὐτὲς μόνο 1 καταστροφές ἐντάσεως VIII-IX βαθμοῦ (1959, Μαΐου 14) στὴν νότια περιοχὴ τῆς κεντρικῆς Κρήτης ( $35,1^{\circ}\text{N}$ ,  $24,9^{\circ}\text{E}$ ).

Ἡ μικρὴ σεισμικὴ ἐπικινδυνότητα τῆς νήσου, παρὸ τὸ πλῆθος τῶν σεισμικῶν δονήσεων μεγέθους  $M_s \geq 5 \frac{1}{2}$  ποὺ παρήχθησαν στὸν ἐστιακὸ τῆς χῶρο κατὰ τὴν περίοδο 1958-1987, ὅφελεται στὸ γεγονός ὅτι τὸ πλεῖστον τῶν σεισμικῶν ἐστιῶν βρίσκονται ἔξω ἀπὸ τὸ χερσαῖο τμῆμα τῆς νήσου, καὶ ὅτι μόνον 33 δονήσεις, δηλαδὴ περίπου 15%, εἰχαν τὴν ἐστία τους σὲ βάθος  $h \leq 20$  km.

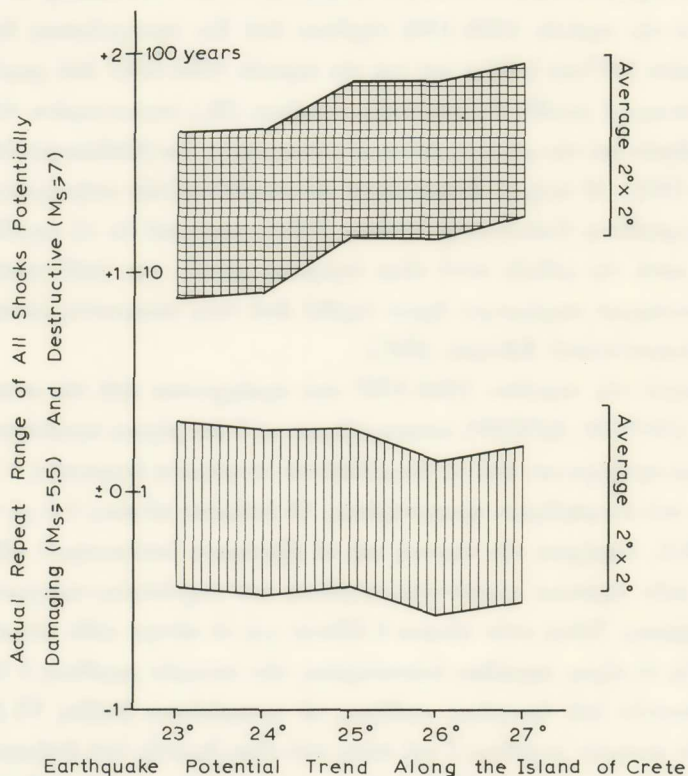


Fig. 2. Earthquake potential trend in terms of actual repeat range of all shocks along the island of Crete.

Στὰ διαγράμματα ποὺ παραθέτουμε (βλ. εἰκ. 2 καὶ 3) παρίσταται γραφικῶς ἡ τάση κατανομῆς τοῦ σεισμικοῦ δυναμικοῦ κατὰ μῆκος τῆς νήσου Κρήτης. Τὸ σεισμικὸ δυ-

ναμικὸ ἀναφέρεται στὸ κέντρο ἐστιακῆς ἐπιφάνειας 4 τετραγωνικῶν μοιρῶν ( $2^{\circ} \times 2^{\circ}$ ) καὶ ἐκφρόζεται μὲ τὸν μέσο καὶ μέγιστο χρόνο ἐπαναλήψεως, δηλαδὴ μὲ τὸ εῦρος τοῦ πραγματικοῦ χρόνου ἐπαναλήψεως : (α) ὅλων τῶν σεισμῶν καὶ (β) τῶν κυρίων σεισμῶν ποὺ εἶναι δυνατὸν λόγῳ μεγέθους νὰ προκαλέσουν σεισμικὲς βλάβες ἐντάσεως VI βαθμοῦ καὶ ἄνω (κάτω διάγραμμα,  $M_s \geq 5 \frac{1}{2}$ ) καὶ καταστροφὲς ἐντάσεως VIII βαθμοῦ καὶ ἄνω (ἐπάνω διάγραμμα  $M_s \geq 7$ ).

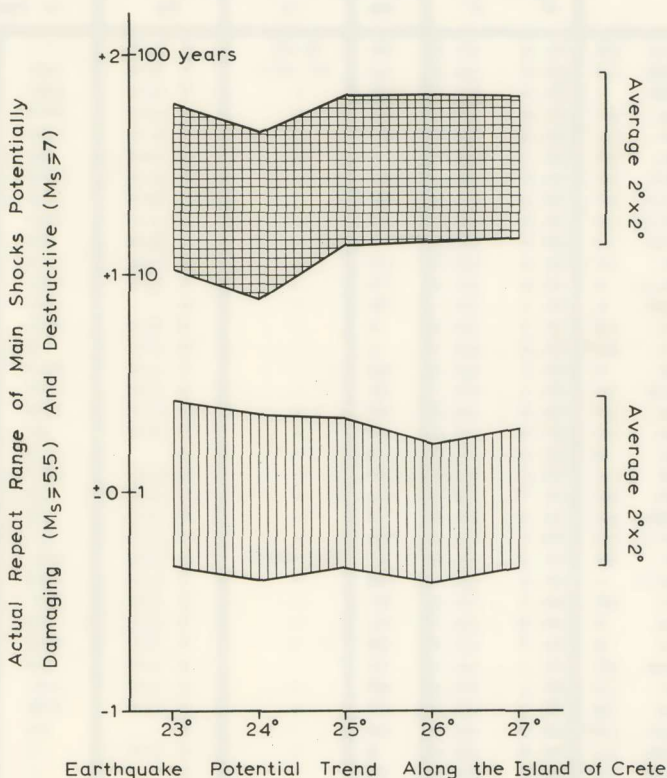


Fig. 3. Earthquake potential trend in terms of actual repeat range of main shocks along the island of Crete.

"Οσο μεγαλύτερο εἶναι τὸ σχετικὸ εῦρος ἐπαναλήψεως αὐτῶν, τόσο μικρότερο εἶναι τὸ σεισμικὸ δυναμικὸ τῆς περιοχῆς στὴν ὁποίᾳ ἀναφέρεται. Γιὰ τοὺς καταστρεπτικοὺς σεισμούς ( $M_s \geq 7$ ), τὸ χρονικὸ εῦρος εἶναι σχετικῶς μεγαλύτερο στὴν κεντρικὴ Κρήτη ( $35^{\circ}\text{N}, 25^{\circ}\text{E}$ ), σὲ σχέση μὲ αὐτὸ ποὺ προκύπτει γιὰ τὴν ἀνατολικὴ καὶ Ἰδίως γιὰ τὴν δυτικὴ Κρήτη ( $35^{\circ}\text{N}, 24^{\circ}\text{E}$ ). Γιὰ τοὺς βλαβερούς σεισμούς ( $M_s \geq 5 \frac{1}{2}$ ), τὸ χρονικὸ εῦρος εἶναι αἰσθητῶς μεγαλύτερο στὴν κεντρικὴ Κρήτη, σὲ σχέση μὲ αὐτὸ ποὺ παρατηρεῖται στὸ ἀνατολικὸ διαμέρισμα τῆς νήσου ( $35^{\circ}\text{N}, 26^{\circ}\text{E}$ ).

TABLE 1

List of earthquakes with  $Ms \geq 5\frac{1}{2}$  off the western Crete ( $34^{\circ}\text{N} 36^{\circ}$  and  $22^{\circ}\text{E} 24^{\circ}$ ). Sample period 1958-1987

No	Date	Location N° E°	Depth km	Intensity Io	Magnitude Ms	Interevent Time in Days
1	1958. July 15	35.4 . 23.6	20	V-VI	5 1/2	-
2	1959. June 10	35.5 . 23.5	11	VI-VII	5 3/4	330
3	1960. Febr. 1	35.3 . 23.0	15	-	5 1/2	236
4	1961. Aug. 27	35.6 . 23.4	62	-	5 1/2	573
5	1961. Dec. 11	36.4 . 23.4	69	-	5 1/2	106
6	1962. Jan. 26	35.2 . 22.7	0	-	6 1/4	46
7	1964. Sept. 30	34.5 . 23.3	49	-	5 1/2	978
8	1965. April 27	35.6 . 23.5	37	-	5 3/4	209
9	1966. April 14	34.5 . 23.9	14	-	5 1/2	352
10	1966. July 12	35.5 . 22.5	7	-	5 3/4	89
11	1966. Nov. 19	35.0 . 23.5	17	-	6 1/4	130
12	1967. April 4	35.6 . 23.6	73	-	5 1/2	136
13	1967. Sept. 6	35.1 . 23.1	20	-	6	155
14	1968. Oct. 19	35.2 . 23.4	6	-	5 3/4	409
15	1968. Oct. 21*	35.2 . 23.3	1	-	5 1/2	2
16	1971. Jan. 2	35.1 . 23.2	42	-	5 1/2	803
17	1971. July 16	35.1 . 23.1	39	-	5 1/2	194
18	1971. Dec. 17	34.9 . 24.0	26	-	5 1/2	154
19	1972. Jan. 12	35.0 . 23.6	46	-	5 3/4	26
20	1972. May 4	35.1 . 23.6	14	-	6	113
21	1973. Jan. 16	35.1 . 22.7	35	-	5 1/2	257
22	1973. Jan. 26	35.7 . 22.1	41	-	5 1/2	10
23	1973. Febr. 20	34.4 . 23.9	19	-	5 1/2	25
24	1973. April 22	35.1 . 23.4	46	-	5 1/2	61
25	1973. Nov. 29	35.2 . 23.8	37	VII-VIII	6 1/2	221
26	1974. April 1	35.6 . 22.4	58	-	5 1/2	123
27	1974. Oct. 25	34.7 . 23.4	41	-	5 1/2	207
28	1975. Jan. 9	34.8 . 24.0	41	-	5 1/2	76
29	1976. May 6	34.7 . 23.8	38	-	5 1/2	483
30	1976. June 25	35.1 . 23.2	22	-	6 1/4	50
31	1976. Nov. 13	35.1 . 23.4	48	-	6 1/4	141
32	1977. Aug. 18	35.3 . 23.5	47	-	6 1/2	278
33	1977. Sept. 10*	34.9 . 23.1	24	-	6	23
34	1977. Sept. 11	34.9 . 23.0	4	-	6 1/2	1
35	1977. Sept. 12*	34.9 . 23.2	38	-	6	1
36	1977. Sept. 13*	34.9 . 23.2	38	-	5 1/2	1
37	1977. Sept. 14*	34.9 . 23.1	19	-	6	1
38	1977. Oct. 22*	34.9 . 23.2	28	-	6 1/4	38
39	1978. Jan. 12	35.8 . 22.3	59	-	5 1/2	82
40	1978. Jan. 28	34.9 . 23.8	45	-	5 3/4	16
41	1979. May 18	34.9 . 23.4	55	-	5 3/4	110
42	1979. May 22	34.9 . 22.1	37	-	5 1/2	4
43	1979. Dec. 10	35.0 . 23.2	58	-	5 1/2	202

cont. Table 1

44	1980.	March	4	35.5	. 23.1	51	-	5 3/4	85	85
45	1980.	Nov.	9	35.1	. 22.9	45	-	5 3/4	250	250
46	1980.	Dec.	11	34.6	. 24.0	41	-	5 1/2	32	32
47	1981.	Febr.	10*	34.3	. 23.6	36	-	5 1/2	61	-
48	1981.	Febr.	11	34.3	. 23.7	31	-	5 3/4	1	62
49	1981.	July	17	34.9	. 22.8	51	-	6 1/4	156	156
50	1982.	April	20	35.6	. 23.6	66	-	6	277	277
51	1983.	Febr.	5	35.2	. 23.3	57	-	5 1/2	291	291
52	1983.	Febr.	10	35.3	. 22.9	56	-	5 3/4	5	5
53	1983.	May	17*	35.0	. 22.9	41	-	5 1/2	96	-
54	1983.	Sept.	25	34.9	. 22.8	25	-	6	131	227
55	1983.	Sept.	26*	34.9	. 22.7	3	-	5 3/4	1	-
56	1983.	Dec.	1	35.0	. 22.9	46	-	5 1/2	63	64
57	1984.	Jan.	4	34.9	. 23.0	38	-	5 3/4	34	34
58	1984.	March	13	34.8	. 23.8	38	-	6 1/2	69	69
59	1984.	May	22	35.8	. 22.6	45	-	6 1/2	70	70
60	1984.	June	16	35.0	. 22.9	42	-	6	25	25
61	1984.	June	17*	34.8	. 22.9	35	-	5 1/2	1	-
62	1984.	June	21	35.3	. 23.3	25	V-VI	6 3/4	4	5
63	1984.	June	21*	35.2	. 23.1	47	-	5 1/2	0	-
64	1984.	June	27*	34.9	. 22.9	41	-	5 1/2	6	-
65	1984.	July	2*	34.9	. 23.0	38	-	5 3/4	5	-
66	1984.	July	3	34.9	. 22.9	44	-	6	1	12
67	1984.	July	5*	35.0	. 22.9	50	-	5 1/2	2	-
68	1984.	July	15*	34.9	. 22.9	40	-	5 3/4	10	-
69	1985.	April	21	35.7	. 22.2	32	-	6 1/2	280	292
70	1985.	May	28	35.5	. 23.6	16	-	5 3/4	37	37
71	1985.	July	26	34.6	. 23.4	16	-	5 1/2	59	59
72	1985.	Dec.	13	36.1	. 22.2	49	-	6 1/4	140	140
73	1986.	Febr.	12	35.1	. 23.5	52	-	5 3/4	61	61
74	1986.	April	27	34.7	. 23.3	27	-	6	74	74
75	1986.	June	23	34.9	. 23.3	44	-	6	57	57
76	1986.	Oct.	5	34.7	. 23.3	33	-	6 1/4	104	104
77	1987.	March	12	35.5	. 23.4	53	-	6 1/2	158	158
78	1987.	Sept.	10	34.3	. 23.0	33	-	5 1/2	182	182
79	1987.	Sept.	12	35.1	. 23.9	24	-	5 3/4	2	2

Fore-and aftershocks denoted by\* in the date were discarded in the second sample as interdependent events.

Τὸ μεγαλύτερο σεισμικὸ δυναμικὸ ποὺ προκύπτει ἀπὸ τοὺς σεισμοὺς μεγέθους  $M_s \geq 7$  γιὰ τὴν δυτικὴ Κρήτη σὲ σχέση πρὸς αὐτὸ τῆς κεντρικῆς Κρήτης, εἴναι δυνατὸν ν' ἀποδοθεῖ στὴν ἔξαρση, δηλαδὴ στὴν ἀνάστροφη κίνηση τοῦ ἐπικείμενου τεμάχους τῶν σεισμογόνων μεταπτώσεων ποὺ ἐπικρατοῦν στὴν δυτικὴ Κρήτη (Zamani and Maroukian, 1981). Ἀντίθετα, τὸ μεγαλύτερο σεισμικὸ δυναμικὸ ποὺ προκύπτει ἀπὸ τοὺς σεισμοὺς μεγέθους  $M_s \geq 5^{1/2}$  γιὰ τὴν ἀνατολικὴ Κρήτη, σὲ σχέση πρὸς αὐτὸ τῆς κεντρικῆς Κρήτης, ὅφείλεται προφανῶς στὴν καθίζηση, δηλαδὴ στὴν κανονικὴ εὔχερὴ κίνηση τοῦ ἐπικείμενου τεμάχους τῶν κανονικῶν μεταπτώσεων ποὺ παρατηροῦνται στὴν ἀνατολικὴ Κρήτη. Τοῦτο φαίνεται καὶ ἀπὸ τὸ μικρότερο συνολικὸ ποσὸ ἐνέργειας ποὺ ἐλευθερώθηκε στὴν ἀνατολικὴ Κρήτη, σὲ σχέση πρὸς αὐτὸ τῆς δυτικῆς Κρήτης (βλ. πίν. 8).

TABLE 1A

Cumulative frequency of earthquakes in magnitude increments  
( $\Delta m = 1/2$ )

Frequency	Magnitude $M_m$			
	5	1/2	6	6 1/2
All data { N <sub>1</sub> N <sub>c-1</sub> }	52	19	8	
	79	27	8	
Data without inter- dependent events { N <sub>2</sub> N <sub>c-2</sub> }	41	15	8	
	64	23	8	

Gutenberg-Richter's Earthquake Recurrence Model (1954):

$$\log(N_1) = 7.381 - 0.995 M_m, \quad \sigma = \pm 0.018$$

$$\log(N_2) = 6.775 - 0.903 M_m, \quad \sigma = \pm 0.004$$

TABLE 1B

Cumulative frequency of earthquake occurrences per actual repeat time expressed as unit time the average interoccurrence time  
(m<sub>1</sub> = 139, m<sub>2</sub> = 171 Days)

Frequency	Repeat Times (t)							
	1	2	3	4	5	6	7	8
All data { N <sub>1</sub> N <sub>c-1</sub> }	52	17	5	1	1	1	0	1
	77	25	8	3	2	1		
Data without inter- dependent events { N <sub>2</sub> N <sub>c-2</sub> }	43	14	3	1	1	1		
	63	20	6	3	2	1		

Galanopoulos' Earthquake Recurrence Model (1988):

$$\log(N_{c1}) = 2.1422 - 0.3756t, \quad \sigma = \pm 0.116, \text{ for } t \leq 6$$

$$\log(N_{c2}) = 2.0056 - 0.3513t, \quad \sigma = \pm 0.126$$

TABLE 1C

Distribution of percentage of earthquake occurrences in terms of actual interoccurrence rime (t)

Percentage	Repeat Times (t)							Total
	1	2	3	4	5	6		
Sample 1	68	22	6	1	1	1		99
Sample 2	68	22	5	2	2	1		100

TABLE 2

List of earthquakes with  $M_s \geq 5\frac{1}{2}$  in the western Crete ( $34^{\circ}\text{N} 36^{\circ}$  and  $23^{\circ}\text{E} 25^{\circ}$ ). Sample period 1958-1987

No.	Date	Location N° E°	Depth km	Intensity Io	Magnitude $M_s$	Interevent Time in Days	
1	1958, July 15	35.4 , 23.6	20	V-VI	5 1/2	-	-
2	1959, May 14	35.1 , 24.9	6	VIII-IX	6 1/2	303	303
3	1959, June 10	35.5 , 23.5	11	VI-VII	5 3/4	27	27
4	1960, Febr. 1	35.3 , 23.0	15	-	5 1/2	236	236
5	1961, Aug. 27	35.6 , 23.4	62	-	5 1/2	573	573
6	1961, Dec. 11	36.4 , 23.4	69	-	5 1/2	106	106
7	1962, May 8	35.4 , 24.2	90	V	5 1/2	148	148
8	1964, April 8	35.0 , 24.3	64	-	5 1/2	701	701
9	1964, Sept. 30	34.5 , 23.3	49	-	5 1/2	175	175
10	1965, April 9	35.1 , 24.3	39	VII-VIII	6	191	191
11	1965, April 27	35.6 , 23.5	37		5 3/4	18	18
12	1966, March 11	34.4 , 24.2	30	-	5 1/2	288	288
13	1966, April 14	34.5 , 23.9	14	-	5 1/2	34	34
14	1966, Nov. 19	35.0 , 23.5	17	-	6 1/4	219	219
15	1967, April 4	35.6 , 23.6	73	-	5 1/2	136	136
16	1967, Sept. 6	35.1 , 23.1	20	-	5 1/2	155	155
17	1968, Sept. 15	34.7 , 25.0	17	-	5 3/4	375	375
18	1968, Sept. 18*	34.7 , 25.0	30	-	5 1/2	3	-
19	1968, Oct. 19	35.2 , 23.4	6	-	5 3/4	31	34
20	1968, Oct. 21*	35.2 , 23.3	1	-	5 1/2	2	-
21	1968, Dec. 25	35.0 , 24.3	58	-	6	65	67
22	1969, June 12	34.4 , 25.0	22	-	6 1/2	169	169
23	1969, June 14*	34.3 , 25.0	21	-	5 3/4	2	-
24	1969, Dec. 1	34.8 , 24.2	35	-	5 3/4	170	172
25	1971, Jan. 2	35.1 , 23.2	42	-	5 1/2	397	397
26	1971, Jan. 19	34.3 , 24.1	34	-	5 3/4	17	17
27	1971, Apr. 9	34.8 , 24.2	42	-	5 1/2	80	80
28	1971, July 16	35.1 , 23.1	39	-	5 1/2	98	98
29	1971, Dec. 17	34.9 , 24.0	26	-	5 1/2	154	154
30	1972, Jan. 12	35.0 , 23.6	46	-	5 3/4	26	26
31	1972, April 29	34.8 , 24.7	48	-	5 3/4	108	108
32	1972, May 4	35.1 , 23.6	14	-	6	5	5
33	1972, Nov. 5	35.0 , 24.8	32	VI-VII	6	185	185
34	1973, Jan. 23	34.3 , 25.0	37		5 1/2	79	79
35	1973, Febr. 20	34.4 , 23.9	19	-	5 1/2	28	28
36	1973, April 16	34.6 , 25.0	44	-	5 1/2	55	55
37	1973, Apr. 22	35.1 , 23.4	46	-	5 1/2	6	6
38	1973, Nov. 29	35.2 , 23.8	37	VII-VIII	6 1/2	221	221
39	1973, Dec. 24	34.8 , 24.7	48		5 1/2	25	25
40	1974, March 8	34.7 , 24.7	47	-	5 3/4	74	74
41	1974, March 13*	34.6 , 24.7	46	-	5 3/4	5	-
42	1974, April 7*	34.7 , 24.7	38	-	6	25	-
43	1974, Sept. 5	35.7 , 24.7	53	-	5 3/4	151	181

cont. Table 2

44	1974.	Oct.	25	34.7	. 23.4	41	-	5 1/2	50	50
45	1975.	Jan.	9	34.8	. 24.0	41	-	5 1/2	76	76
46	1975.	July	29	34.8	. 24.9	47	-	5 3/4	201	201
47	1976.	April	19	35.5	. 24.7	64	-	5 3/4	265	265
48	1976.	May	6	34.7	. 23.8	38	-	5 1/2	18	18
49	1976.	June	25	35.1	. 23.2	22	-	6 1/4	50	50
50	1976.	Nov.	13	35.1	. 23.4	48	-	6 1/4	141	141
51	1977.	Aug.	18	35.3	. 23.5	47	-	6 1/2	278	278
52	1977.	Sept.	10*	34.9	. 23.1	24	-	6	23	-
53	1977.	Sept.	11	34.9	. 23.0	4	-	6 1/2	1	24
54	1977.	Sept.	12*	34.9	. 23.2	38	-	6	1	-
55	1977.	Sept.	13*	34.9	. 23.2	38	-	5 1/2	1	-
56	1977.	Sept.	14*	34.9	. 23.1	19	-	6	1	-
57	1977.	Oct.	22*	34.9	. 23.2	28	-	6 1/4	38	-
58	1978.	Jan.	28	34.9	. 23.8	45	-	5 3/4	98	139
59	1979.	May	15	34.6	. 24.4	43	-	6 1/2	472	472
60	1979.	May	18	34.9	. 23.4	55	-	5 3/4	3	3
61	1979.	June	15	34.9	. 24.2	41	-	6 1/4	28	28
62	1979.	Dec.	10	35.0	. 23.2	58	-	5 1/2	178	178
63	1980.	March	4	35.5	. 23.1	51	-	5 3/4	85	85
64	1980.	Dec.	11	34.6	. 24.0	41	-	5 1/2	282	282
65	1981.	Febr.	10*	34.3	. 23.6	36	-	5 1/2	61	-
66	1981.	Febr.	11	34.3	. 23.7	31	-	5 3/4	1	62
67	1981.	Sept.	14	34.7	. 25.0	26	-	6	214	214
68	1981.	Sept.	14*	34.7	. 25.0	9	-	5 1/2	0	-
69	1982.	March	10	35.5	. 26.0	85	-	5 1/2	177	177
70	1982.	April	20	35.6	. 23.6	66	-	6	41	41
71	1982.	June	16	35.0	. 24.2	37	-	5 1/2	57	57
72	1983.	Jan.	3	34.5	. 24.3	71	-	6 1/2	201	201
73	1983.	Febr.	5	35.2	. 23.3	57	-	5 1/2	33	33
74	1983.	May	8	35.8	. 24.2	78	-	5 1/2	92	92
75	1983.	Sept.	29	34.6	. 24.1	36	-	5 3/4	144	144
76	1984.	Jan.	4	34.9	. 23.0	38	-	5 3/4	97	97
77	1984.	Jan.	14	35.1	. 24.5	59	-	6 1/2	10	10
78	1984.	Febr.	29	34.4	. 24.3	37	-	5 3/4	46	46
79	1984.	March	13	34.8	. 23.8	38	-	6 1/2	13	13
80	1984.	June	21	35.3	. 23.3	25	V-VI	6 3/4	100	100
81	1984.	June	21*	35.2	. 23.1	47	-	5 1/2	0	-
82	1984.	July	2	34.9	. 23.0	38	-	5 3/4	11	11
83	1985.	May	28	35.5	. 23.6	16	--	5 3/4	330	330
84	1985.	July	26	34.6	. 23.4	16	-	5 1/2	59	59
85	1986.	Febr.	12	35.1	. 23.5	52	-	5 3/4	201	201
86	1986.	Febr.	15	35.0	. 24.7	44	-	5 3/4	3	3
87	1986.	April	27	34.7	. 23.3	27	-	6	71	71
88	1986.	June	23	34.9	. 23.3	44	-	6	57	57
89	1986.	Oct.	5	34.7	. 23.3	33	-	6 1/4	104	104
90	1987.	March	12	35.5	. 23.4	53	-	6 1/2	158	158
91	1987.	Sept.	10	34.3	. 23.0	33	-	5 1/2	182	182
92	1987.	Sept.	12	35.1	. 23.9	24	-	5 3/4	2	2

TABLE 2A

Cumulative frequency of earthquakes in magnitude increments  
( $\Delta m = 1/2$ )

Frequency	Magnitude $M_m$		
	5 1/2	6	6 1/2
All data { N <sub>1</sub> N <sub>c-1</sub>	63	18	11
	92	29	11
Data without inter- dependent events { N <sub>2</sub> N <sub>c-2</sub>	55	13	11
	79	24	11

Gutenberg-Richter's Earthquake Recurrence Model (1954):

$$\log(N_{c1}) = 7.027 - 0.923 M_m, \quad \sigma = \pm 0.023$$

$$\log(N_{c2}) = 6.582 - 0.857 M_m, \quad \sigma = \pm 0.052$$

TABLE 2B

Cumulative frequency of earthquake occurrences per actual repeat time expressed as unit time the average interoccurrence time  
(m<sub>1</sub> = 119, m<sub>2</sub> = 139 Days)

Frequency	Repeat Times (t)					
	1	2	3	4	5	6
All data { N <sub>1</sub> N <sub>c-1</sub>	57	23	6	3	1	1
	91	34	11	5	2	1
Data without inter- dependent events { N <sub>2</sub> N <sub>c-2</sub>	45	24	6	1	1	1
	78	33	9	3	2	1

Galanopoulos' Earthquake Recurrence Model (1988) :

$$\log(N_{c1}) = 2.305 - 0.395t, \quad \sigma = \pm 0.054$$

$$\log(N_{c2}) = 2.209 - 0.387t, \quad \sigma = \pm 0.115$$

TABLE 2C

Distribution of percentage of earthquake occurrences in terms of actual interoccurrence time (t)

Percentage	Repeat Times (t)						Total
	1	2	3	4	5	6	
Sample 1	63	25	7	3	1	1	100
Sample 2	58	31	8	1	1	1	100

TABLE 3

List of earthquakes with  $Ms \geq 5\frac{1}{2}$  in the central Crete ( $34^{\circ}\text{N} 36^{\circ}$  and  $24^{\circ}\text{E} 26^{\circ}$ ).  
Sample period 1958-1987

No	Date	Location N° E°	Depth km	Intensity Io	Magnitude Ms	Interevent Time in Days
1	1959. May 14	35.1 . 24.9	6	VIII-IX	6 1/2	-
2	1959. Sept. 16	34.9 . 25.9	50	-	5 3/4	125
3	1960. Oct. 1	35.4 . 25.9	13	V	5 1/2	381
4	1962. April 4*	34.7 . 25.5	21	-	5 1/2	550
5	1962. April 4	34.3 . 25.1	42	-	5 3/4	0
6	1962. May 8	35.4 . 24.2	90	V	5 1/2	34
7	1963. March 4	34.9 . 25.2	39	VI	5 1/2	300
8	1964. April 8	35.0 . 24.3	64	-	5 1/2	401
9	1964. Aug. 17	35.3 . 25.9	64	VI	5 1/2	131
10	1964. Oct. 17	35.0 . 25.4	18	V	5 1/2	61
11	1964. Dec. 31	35.8 . 25.5	89	-	5 1/2	75
12	1965. April 9	35.1 . 24.3	39	VI-VII	6 1/2	99
13	1965. Aug. 25	34.7 . 25.1	10		5 1/2	138
14	1966. March 11	34.4 . 24.2	30	-	5 1/2	198
15	1966. April 21	34.5 . 25.7	51	-	5 1/2	41
16	1968. July 8	34.5 . 25.1	38	-	6	508
17	1968. July 9*	34.4 . 25.1	49	-	5 1/2	1
18	1968. Sept. 15	34.7 . 25.0	17	-	5 3/4	68
19	1968. Sept. 18*	34.7 . 25.0	30	-	5 1/2	3
20	1968. Dec. 25	35.0 . 24.3	58	-	6	98
21	1969. June 12	34.4 . 25.0	22	-	6 1/2	169
22	1969. June 13*	34.3 . 25.1	41	-	5 1/2	1
23	1969. June 14*	34.3 . 25.0	21	-	5 3/4	1
24	1969. July 24	34.9 . 26.0	60	-	5 1/2	40
25	1969. Sept. 28*	34.3 . 25.1	29	-	6 1/4	66
26	1969. Dec. 1	34.8 . 24.2	35	-	5 3/4	54
27	1971. Jan. 19	34.3 . 24.1	34	-	5 3/4	414
28	1971. April 9	34.8 . 24.2	48	-	5 1/2	80
29	1971. Dec. 17	34.9 . 24.0	26	-	5 1/2	252
30	1972. April 29	34.8 . 24.7	48	-	5 3/4	134
31	1972. Oct. 10	35.2 . 25.4	34	VI-VII	5 1/2	164
32	1972. Nov. 5	35.0 . 24.8	32		6	26
33	1973. Jan. 23	34.3 . 25.0	37	-	5 1/2	79
34	1973. April 6	34.4 . 25.2	37	-	6	73
35	1973. April 16	34.6 . 25.0	44	-	5 1/2	10
36	1973. Dec. 24	34.8 . 24.7	48	-	5 1/2	252
37	1974. Jan. 27	35.0 . 25.4	35	-	5 1/2	34
38	1974. March 8	34.7 . 24.7	47	-	5 3/4	40
39	1974. March 13*	34.6 . 24.7	46	-	5 3/4	5
40	1974. April 7*	34.7 . 24.7	38	-	6	25
41	1974. Sept. 5	35.7 . 24.7	53	-	5 3/4	151
42	1975. Jan. 9	34.8 . 24.0	41	-	5 1/2	126
43	1975. July 29	34.8 . 24.9	47	-	5 3/4	201

cont. Table 3

44	1976, April 19	35.5 . 24.7	64	-	5 3/4	265	265
45	1976, May 18	34.9 . 25.4	71	-	5 3/4	29	29
46	1976, Nov. 29	34.8 . 25.7	37	-	5 1/2	195	195
47	1978, Jan. 29	34.9 . 25.7	35	VII-VIII	6 1/4	426	426
48	1978, March 7	34.5 . 25.2	41	-	6 1/4	37	37
49	1978, March 7*	34.3 . 25.3	40	-	5 1/2	0	-
50	1978, Aug. 25	34.1 . 25.2	10	-	5 1/2	171	171
51	1978, Oct. 18	35.0 . 26.0	10	-	5 1/2	54	54
52	1979, May 15	34.6 . 24.4	43	-	6 1/2	209	209
53	1979, June 15	34.9 . 24.2	41	-	6 1/4	31	31
54	1980, Aug. 8	34.0 . 25.7	33	-	5 1/2	420	420
55	1980, Dec. 11	34.6 . 24.0	41	-	5 1/2	125	125
56	1981, Jan. 22	34.2 . 25.2	49	-	5 3/4	42	42
57	1981, Febr. 9	34.1 . 25.8	27	-	5 3/4	18	18
58	1981, May 9*	34.2 . 25.8	53	-	5 1/2	89	-
59	1981, Sept. 13	34.8 . 25.1	39	VI	6 1/4	127	216
60	1981, Sept. 14*	34.7 . 25.0	26	-	6	1	-
61	1981, Sept. 14*	34.7 . 25.0	9	-	5 1/2	0	-
62	1981, Sept. 30	34.0 . 25.6	30	-	6	16	17
63	1982, Febr. 11	34.8 . 25.2	45	-	5 3/4	134	134
64	1982, March 10	35.5 . 26.0	85	-	5 1/2	27	27
65	1982, June 16	35.0 . 24.2	37	-	5 1/2	98	98
66	1982, Sept. 20*	34.3 . 26.0	39	-	6	96	-
67	1982, Sept. 21	34.3 . 26.0	42	-	6 1/2	1	97
68	1983, Jan. 3	34.5 . 24.3	71	-	6 1/2	104	104
69	1983, March 19	35.0 . 25.3	59	V-VI	6 1/2	75	75
70	1983, May 8	35.8 . 24.2	78	-	5 1/2	50	50
71	1983, Sept. 28	35.2 . 25.8	74	-	5 3/4	143	143
72	1983, Sept. 29	34.6 . 24.1	36	-	5 3/4	1	1
73	1984, Jan. 14	35.1 . 24.5	59	-	6 1/2	107	107
74	1984, Febr. 18	34.8 . 26.0	37	-	6	35	35
75	1984, Febr. 29	34.4 . 24.3	37	-	5 3/4	11	11
76	1984, March 1	35.3 . 25.5	84	-	5 3/4	1	1
77	1984, June 29	34.4 . 25.5	45	-	5 3/4	120	120
78	1985, Oct. 26	34.4 . 25.9	55	-	5 1/2	424	424
79	1986, Febr. 15	35.0 . 24.7	44	-	5 3/4	112	112
80	1986, Sept. 14	34.3 . 25.7	39	-	5 1/2	211	211
81	1987, Sept. 20	35.0 . 25.6	18	V-VI	6	371	371

TABLE 3A

Cumulative frequency of earthquakes in magnitude increments  
( $\Delta m = 1/2$ )

Frequency	Magnitude $M_m$			
	5	1/2	6	6 1/2
All data { N <sub>1</sub> N <sub>c-1</sub> }	58	16	7	
	81	23	7	
Data without inter- dependent events { N <sub>c-2</sub> N <sub>c-2</sub> }	49	12	7	
	68	19	7	

Gutenberg-Richter's Earthquake Recurrence Model (1954):

$$\log(N_{c1}) = 7.750 - 1.063 M_m, \quad \sigma = \pm 0.008$$

$$\log(N_{c2}) = 7.241 - 0.987 M_m, \quad \sigma = \pm 0.034$$

TABLE 3B

Cumulative frequency of earthquake occurrences per actual repeat time expressed as unit time the average interoccurrence time  
( $m_1 = 135$ ,  $m_2 = 161$  Days)

Frequency	Repeat Times (t)					
	1	2	3	4	5	6
All data { N <sub>1</sub> N <sub>c-1</sub> }	56	14	4	5	1	
	80	24	10	6	1	
Data without inter- dependent events { N <sub>c-2</sub> N <sub>c-2</sub> }	44	14	7	2		
	67	23	9	2		

Galanopoulos' Earthquake Recurrence Model (1988):

$$\log(N_{c1}) = 2.335 - 0.441t, \quad \sigma = \pm 0.128$$

$$\log(N_{c2}) = 2.365 - 0.298t, \quad \sigma = \pm 0.067$$

TABLE 3C

Distribution of percentage of earthquake occurrences in terms of actual interoccurrence time (t)

Percentage	Repeat Times (t)						Total
	1	2	3	4	5	6	
Sample 1	70	18	5	6	1	-	100
Sample 2	66	21	10	3	-	-	100

TABLE 4

List of earthquakes with  $Ms \geq 5\frac{1}{2}$  in the eastern Crete  
 ( $34^\circ N$   $36^\circ$  and  $25^\circ E 27^\circ$ ). Sample period 1958-1987

No	Date	Location N° E°	Depth km	Intensity Io	Magnitude Ms	Interevent Time in Days
1	1959. July 12	36.0 . 26.3	80	-	5 1/2	-
2	1959. Sept. 16	34.9 . 25.9	50	-	5 3/4	66 66
3	1960. April 28	34.3 . 26.5	60	-	5 1/2	225 225
4	1960. Aug. 27	34.2 . 26.2	15	-	5 3/4	121 121
5	1960. Sept. 10*	34.4 . 26.4	15	-	5 1/2	14 -
6	1960. Oct. 1	35.4 . 25.9	13	V	5 1/2	21 35
7	1961. Jan. 7	35.4 . 26.2	75	-	5 1/2	98 98
8	1961. March 13	34.5 . 26.7	16	-	5 1/2	65 65
9	1962. April 4*	34.7 . 25.5	21	-	5 1/2	387 -
10	1962. April 4	34.3 . 25.1	42	-	5 3/4	0 387
11	1962. April 28	36.0 . 26.9	50	-	6	24 24
12	1962. April 28*	36.1 . 26.9	50	-	5 3/4	0 -
13	1962. Sept. 10	34.6 . 26.6	50	-	5 1/2	135 135
14	1963. March 4	34.9 . 25.2	39	VI	5 1/2	175 175
15	1964. Aug. 17	35.3 . 25.9	64	VI	5 1/2	532 532
16	1964. Oct. 17	35.0 . 25.4	18	V	5 1/2	61 61
17	1964. Dec. 31	35.8 . 25.5	89	-	5 1/2	75 75
18	1965. Aug. 25	34.7 . 25.1	10	V	5 1/2	237 237
19	1966. April 21	34.5 . 25.7	51	-	5 1/2	239 239
20	1966. May 9	34.4 . 26.4	13	-	6	18 18
21	1966. May 9*	34.3 . 26.4	43	-	5 1/2	0 -
22	1966. May 13*	34.5 . 26.5	37	-	5 1/2	4 -
23	1966. May 13*	34.5 . 26.5	41	-	5 1/2	5 -
24	1966. Dec. 18	35.1 . 26.9	33	-	5 1/2	214 223
25	1967. May 15	34.5 . 26.6	35	-	5 3/4	148 148
26	1968. July 8	34.5 . 25.1	38	-	6	420 420
27	1968. July 9*	34.4 . 25.1	49	-	5 1/2	1 -
28	1968. Aug. 15	35.2 . 26.7	48	-	6	37 38
29	1968. Sept. 15	34.7 . 25.0	17	-	5 3/4	31 31
30	1968. Sept. 16*	34.7 . 25.0	30	-	5 1/2	3 -
31	1969. June 12	34.4 . 25.0	22	-	6 1/2	267 270
32	1969. June 13*	34.3 . 25.1	41	-	5 1/2	1 -
33	1969. June 14*	34.3 . 25.0	21	-	5 3/4	1 -
34	1969. July 24	34.9 . 26.0	60	-	5 1/2	40 42
35	1969. Sept. 28*	34.3 . 25.1	29	-	6 1/4	66 -
36	1969. Dec. 31*	34.4 . 26.1	54	-	5 1/2	94 -
37	1970. April 7	34.6 . 26.1	20	-	5 3/4	97 257
38	1971. Jan. 3	34.6 . 26.3	47	-	6	271 271
39	1971. Oct. 3*	34.1 . 26.1	35	-	5 1/2	273 -
40	1971. Oct. 4*	34.2 . 26.2	17	-	5 1/2	1 -
41	1971. Oct. 13	34.2 . 26.1	17	-	6	9 283
42	1972. June 9	34.7 . 26.5	41	-	5 3/4	240 240
43	1972. Sept. 26	34.2 . 26.1	21	-	5 3/4	109 109

cont. Table 4

44	1972. Oct.	10	35.2	25.4	34	VI	5 1/2	14	14
45	1973. Jan.	23	34.3	25.0	37	-	5 1/2	105	105
46	1973. April	6	34.4	25.2	37	-	6	73	73
47	1973. April	16	34.6	25.0	44	-	5 1/2	10	10
48	1973. June	26	34.4	26.1	50	-	5 3/4	71	71
49	1973. Oct.	6	34.8	26.3	38	-	5 1/2	102	102
50	1973. Oct.	13*	34.7	26.4	52	-	5 1/2	7	-
51	1973. Oct.	14*	34.7	26.3	51	-	5 1/2	1	-
52	1973. Dec.	5	35.4	26.4	70	V	6	52	60
53	1974. Jan.	27	35.0	25.4	35	-	5 1/2	53	53
54	1974. May	19	35.5	26.3	84	V	6 1/4	112	112
55	1975. Febr.	15	35.8	26.9	46	-	5 3/4	272	272
56	1975. Sept.	22	35.2	26.3	55	V	6 1/2	219	219
57	1976. May	18	34.9	25.4	71	-	5 3/4	242	242
58	1976. Oct.	21	35.8	27.0	89	-	5 1/2	156	156
59	1976. Nov.	29	34.8	25.7	37	-	5 1/2	39	39
60	1977. May	27	35.1	26.6	65	-	5 1/2	179	179
61	1977. Aug.	5	34.3	26.8	33	-	5 1/2	70	70
62	1978. Jan.	29	34.9	25.7	35	VII-VIII	6 1/4	177	177
63	1978. March	7	34.9	25.2	41	-	6 1/4	37	37
64	1978. March	7*	34.3	25.3	40	-	5 1/2	0	-
65	1978. Aug.	25	34.1	25.2	10	-	5 1/2	171	171
66	1978. Oct.	18	35.0	26.0	10	-	5 1/2	54	54
67	1978. Nov.	28	36.0	26.4	114	-	5 3/4	41	41
68	1979. July	23	35.5	26.4	36	V-VI	6 1/2	237	237
69	1979. Aug.	11*	35.4	26.3	40	-	5 3/4	19	-
70	1980. Aug.	8	34.0	25.7	33	-	5 1/2	363	363
71	1981. Jan.	22	34.2	25.2	49	-	5 3/4	167	167
72	1981. Febr.	9	34.1	25.8	27	-	5 3/4	18	18
73	1981. May	9*	34.2	25.8	53	-	5 1/2	89	-
74	1981. June	1	35.5	26.3	81	-	6 1/4	23	112
75	1981. Sept.	13	34.8	25.1	39	VI	6 1/4	104	104
76	1981. Sept.	14*	34.7	25.0	26	-	6	1	-
77	1981. Sept.	14*	34.7	25.0	9	-	5 1/2	0	-
78	1981. Sept.	30	34.0	25.6	30	-	6	16	17
79	1982. Febr.	11	34.8	25.2	45	-	5 3/4	134	134
80	1982. March	10	35.5	26.0	85	-	5 1/2	27	27
81	1982. Sept.	20*	34.3	26.0	39	-	6,	194	-
82	1982. Sept.	21	34.3	26.0	42	-	6 1/2	1	195
83	1983. March	19	35.0	25.3	59	V-VI	6 1/2	179	179
84	1983. Sept.	28	35.2	25.8	74	-	5 3/4	193	193
85	1984. Febr.	18	34.8	26.0	37	-	6	143	143
86	1984. March	1	35.3	25.5	84	-	5 3/4	12	12
87	1984. June	10	34.9	26.2	11	-	5 3/4	101	101
88	1984. June	29	34.4	25.5	45	-	5 3/4	19	19
89	1984. Sept.	23	34.8	26.7	55	-	5 3/4	86	86
90	1985. July	14	35.9	26.2	105	-	5 1/2	294	294
91	1985. Sept.	27	34.4	26.5	41	-	6 1/2	75	75
92	1985. Oct.	26	34.4	25.9	55	-	5 1/2	29	29
93	1985. Nov.	21	34.2	26.1	22	-	5 1/2	26	26

cout. Table 4

94	1986, May	22	34.6 , 26.5	48	-	6 1/2	182	182
95	1986, Sept.	14	34.3 , 25.7	39	-	5 1/2	115	115
96	1986, Sept.	26	34.4 , 26.2	49	-	5 3/4	12	12
97	1987, Febr.	9	35.4 , 26.1	18	-	5 1/2	136	136
98	1987, Aug.	15	34.2 , 26.6	20	-	5 1/2	187	187
99	1987, Aug.	25*	34.4 , 26.6	40	-	5 1/2	10	-
100	1987, Sept.	20	35.0 , 25.6	18	V-VI	6	26	36
101	1987, Dec.	10	34.8 , 26.7	7	-	5 3/4	81	81

TABLE 4A

Cumulative frequency of earthquakes in magnitude increments  
 $(\Delta m = 1/2)$

Frequency	Magnitude $M_m$		
	5 1/2	6	6 1/2
All data { $N_1$ $N_{c1}$ }	75	19	7
Data without inter- { $N_2$ dependent events      } $N_{c2}$	101	26	7
	55	16	7
	78	23	7

Gutenberg-Richter's Earthquake Recurrence Model (1954):

$$\log(N_{c1}) = 8.424 - 1.159 M_m, \quad \sigma = \pm 0.060$$

$$\log(N_{c2}) = 7.648 - 1.047 M_m, \quad \sigma = \pm 0.004$$

TABLE 4B

Cumulative frequency of earthquake occurrences per actual repeat time  
expressed as unit time the average interoccurrence time  
( $m_1 = 108$ ,  $m_2 = 139$  Days)

Frequency	Repeat Times (t)					
	1	2	3	4	5	6
All data { N <sub>1</sub> N <sub>c-1</sub> }	63	21	12	3	1	-
	100	37	16	4	1	-
Data without inter- dependent events { N <sub>c2</sub> N <sub>c-2</sub> }	46	25	4	2	-	-
	77	31	6	2	-	-

Galanopoulos' Earthquake Recurrence Model (1988): $\mu$

$$\text{Log}(N_{c1}) = 2.5646 - 0.4966t, \quad \sigma = \pm 0.084$$

$$\text{Log}(N_{c2}) = 2.481 - 0.5401t, \quad \sigma = \pm 0.063$$

TABLE 4C

Distribution of percentage of earthquake occurrences in terms of actual  
interoccurrence time (t)

Percentage	Repeat Times (t)						Total
	1	2	3	4	5	6	
Sample 1	63	21	12	3	1	-	100
Sample 2	60	32	5	3	-	-	100

TABLE 5

List of earthquakes with  $M_s \geq 5\frac{1}{2}$  off the eastern Crete ( $34^\circ$  N  $36^\circ$  and  $26^\circ$  E  $28^\circ$ ). Sample period 1958 - 1987

No	Date	Location N° E°	Depth km	Intensity Io	Magnitude Ms	Interevent Time in Days
1	1959, July 12	36.0 . 26.3	80	-	5 1/2	-
2	1960, April 28	34.3 . 26.5	60	-	5 1/2	291
3	1960. Aug. 8	35.6 . 27.7	8	V	5 1/2	102
4	1960. Aug. 27	34.2 . 26.2	15	-	5 3/4	19
5	1960. Sept. 10*	34.4 . 26.4	15	-	5 1/2	14
6	1961, Jan. 7	35.4 . 26.2	75	-	5 1/2	119
7	1961. March 13	34.5 . 26.7	16	-	5 1/2	65
8	1962. April 28	36.0 . 26.9	50	-	6	411
9	1962. April 28*	36.1 . 26.9	50	-	5 3/4	0
10	1962. Sept. 10	34.6 . 26.6	50	-	5 1/2	135
11	1966, May 9	34.4 . 26.4	13	-	6	1338
12	1966, May 9*	34.3 . 26.4	43	-	5 1/2	0
13	1966. May 13*	34.5 . 26.5	37	-	5 1/2	4
14	1966. May 18*	34.5 . 26.5	41	-	5 1/2	5
15	1966. Dec. 18	35.1 . 26.9	33	-	5 1/2	214
16	1967. May 15	34.5 . 26.6	35	-	5 3/4	148
17	1968. May 30*	35.4 . 27.9	27	-	6	381
18	1968, July 27	35.4 . 27.9	29	-	6 1/4	58
19	1968. July 31*	35.5 . 28.0	49	V-VI	5 3/4	4
20	1968, Aug. 4*	35.4 . 27.8	42	-	5 1/2	4
21	1968. Aug. 15	35.2 . 26.7	48	-	6	11
22	1969, April 16*	35.3 . 27.9	55	-	5 3/4	244
23	1969, April 16	35.3 . 27.8	52	-	6	0
24	1969, April 16*	35.2 . 27.7	58	-	6	0
25	1969, April 17*	35.2 . 27.8	55	-	5 3/4	1
26	1969, May 1*	35.4 . 27.7	51	-	6	14
27	1969, May 1*	35.4 . 27.7	67	-	5 3/4	0
28	1969, May 14*	35.3 . 27.7	43	-	6	13
29	1969. May* 15*	35.3 . 27.7	46	-	5 3/4	1
30	1969, July 24	34.9 . 26.0	60	-	5 1/2	70
31	1969, Sept. 4	35.1 . 27.2	43	-	5 1/2	42
32	1969. Dec. 31*	34.4 . 26.1	54	-	5 1/2	118
33	1970. April 7	34.6 . 26.1	20	-	5 3/4	97
34	1971. Jan. 3	34.6 . 26.3	47	-	6	271
35	1971. July 3	35.1 . 27.9	40	-	5 3/4	181
36	1971. Oct. 3*	34.1 . 26.1	35	-	5 1/2	92
37	1971. Oct. 4*	34.2 . 26.2	17	-	5 1/2	1
38	1971. Oct. 13	34.2 . 26.1	17	-	6	9
39	1971. Nov. 22	35.3 . 27.8	34	-	5 1/2	40
40	1972. June 9	34.7 . 26.5	41	-	5 3/4	200
41	1972. Sept 26	34.2 . 26.1	23	-	5 3/4	109
42	1972. Dec. 2	35.3 . 27.1	36	-	6	67
43	1972. Dec. 19	35.3 . 27.7	41	-	5 3/4	17

cont. Table 5

44	1973.	June	26	34.4 . 26.1	50	-	5 3/4	189	189
45	1973.	Oct.	6	34.8 . 26.3	38	-	5 1/2	102	102
46	1973.	Oct.	13*	34.7 . 26.4	52	-	5 1/2	7	-
47	1973.	Oct.	14*	34.7 . 26.3	51	-	5 1/2	1	-
48	1973.	Nov.	12*	35.3 . 27.7	47	-	5 3/4	29	-
49	1973.	Nov.	12	35.4 . 27.6	21	-	6	0	37
50	1973.	Nov.	14*	35.3 . 27.7	42	-	5 1/2	2	-
51	1973.	Nov.	19*	35.3 . 27.7	60	-	5 1/2	5	-
52	1973.	Dec.	5	35.4 . 26.4	70	-	6	16	23
53	1974.	May	19	35.5 . 26.3	84	V	6 1/4	165	165
54	1974.	Sept.	29	35.4 . 27.9	49	-	5 1/2	133	133
55	1975	Jan.	3	35.6 . 27.3	42	-	5 3/4	96	96
56	1975.	Febr.	15	35.8 . 26.9	46	-	5 3/4	43	43
57	1975.	Sept.	22	35.2 . 26.3	55	-	6 1/2	219	219
58	1976.	Oct.	21	35.8 . 27.0	89	-	5 1/2	395	395
59	1977.	May	27	35.1 . 26.6	65	-	5 1/2	218	218
60	1977.	Aug.	5	34.3 . 26.8	33	-	5 1/2	70	70
61	1977.	Oct.	27	35.4 . 27.6	46	-	6	83	83
62	1977.	Nov.	28	36.0 . 27.8	81	-	6 1/2	32	32
63	1978.	March	1	36.0 . 27.1	94	-	5 1/2	93	93
64	1978.	Oct.	18	35.0 . 26.0	10	-	5 1/2	231	231
65	1978.	Nov.	18	36.0 . 26.4	114	-	5 3/4	41	41
66	1979.	July	23	35.5 . 26.4	36	V-VI	6 1/2	237	237
67	1979.	Aug.	11*	35.4 . 26.3	40	-	5 3/4	19	-
68	1979.	Aug.	22	35.9 . 27.4	90	V	6 1/4	11	30
69	1980.	May	16	35.9 . 27.3	57	-	6 1/4	268	268
70	1981.	May	8	35.8 . 27.2	110	-	5 3/4	357	357
71	1981.	June	1	35.5 . 26.3	81	-	6 1/4	24	24
72	1982.	Sept.	20*	34.3 . 26.0	39	-	6	476	-
73	1982.	Sept.	31	34.3 . 26.0	42	-	6 1/2	1	477
74	1982.	Oct.	11	35.4 . 27.8	69	-	5 3/4	20	20
75	1983.	Jan.	27	35.3 . 27.4	50	-	5 1/2	108	108
76	1983.	Sept.	9	35.5 . 27.2	35	-	6	225	225
77	1984.	Febr.	18	34.8 . 26.0	37	-	6	162	162
78	1984.	June	10	34.9 . 26.2	11	-	5 3/4	113	113
79	1984.	Sept.	23	34.8 . 26.7	55	-	5 3/4	105	105
80	1985.	May	10	35.4 . 27.2	32	-	5 3/4	229	229
81	1985.	July	14	35.9 . 26.2	105	-	5 1/2	65	65
82	1985.	Sept.	27	34.4 . 26.5	41	-	6 1/2	75	75
83	1985.	Nov.	21	34.2 . 26.1	22	-	5 1/2	55	55
84	1986.	May	22	34.6 . 26.5	48	-	6 1/2	182	182
85	1986.	Sept.	26	34.4 . 26.2	49	-	5 3/4	127	127
86	1987.	Febr.	9	35.4 . 26.1	18	-	5 1/2	136	136
87	1987.	Aug.	15	34.2 . 26.6	20	-	5 1/2	187	187
88	1987.	Aug.	25*	34.4 . 26.6	40	-	5 1/2	10	-
89	1987.	Dec.	10	34.8 . 26.7	7	-	5 3/4	107	117

TABLE 5A

Cumulative frequency of earthquakes in magnitude increments ( $\Delta m = 1/2$ )

Frequency	Magnitude $M_m$			
	5	1/2	6	6 1/2
All data { N <sub>1</sub> N <sub>c-1</sub>	61	22	6	
	89	28	6	
Data without inter- dependent events { N <sub>2</sub> N <sub>c-2</sub>	39	17	6	
	62	23	6	

Gutenberg-Richter's Earthquake Recurrence Model (1954):

$\log(N_{c1}) = 8.417 - 1.171 M_m, \quad \sigma = \pm 0.048$

$\log(N_{c2}) = 7.401 - 1.014 M_m, \quad \sigma = \pm 0.045$

TABLE 5B

Cumulative frequency of earthquake occurrences per actual repeat time expressed as unit time the average interoccurrence time  
( $m_1=123$ ,  $m_2=177$  Days)

Frequency	Repeat Times (t)					
	1	2	3	4	5	6
All data { N <sub>1</sub> N <sub>c-1</sub>	59	20	4	4		
	87	28	8	4		
Data without inter- dependent events { N <sub>2</sub> N <sub>c-2</sub>	39	17	5	-		
	61	22	5	-		

Galanopoulos' Earthquake Recurrence Model (1988):

$\log(N_{c1}) = 2.3625 - 0.4558t, \quad \sigma = \pm 0.067$

$\log(N_{c2}) = 2.3613 - 0.543t, \quad \sigma = \pm 0.058$

TABLE 5C

Distribution of percentage of earthquake occurrences in terms of actual interoccurrence time (t)

Percentage	Repeat Times (t)					
	1	2	3	4	5	Total
Sample 1	68	23	5	4	1	100
Sample 2	64	28	8	-	-	100

TABLE 6A

Cumulative frequency of earthquakes with  $M_s \geq 5\frac{1}{2}$  in the focal volume of the whole island of Crete ( $34^\circ\text{N}36^\circ$ ,  $22^\circ\text{E}28^\circ$ ). Sample period 1958-1987: in magnitude increments ( $\Delta m = 1/2$ )

	Frequency	Magnitude $M_s$		
		5 1/2	6	6 1/2
All data	$N_1$	167	54	20
	$N_{c-1}$	241	74	20
Data without inter-dependent events	$N_c$	127	44	20
	$N_{c-2}$	191	64	20

Gutenberg-Richter's Earthquake Recurrence Model (1954):

$$\log(N_{c1}) = 8.3367 - 1.081 M_m, \quad \sigma = \pm 0.016$$

$$\log(N_{c1}) = 7.676 - 0.98 M_m, \quad \sigma = \pm 0.009$$

TABLE 6B

Cumulative frequency of earthquake occurrences in the focal volume of the whole island of Crete ( $34^\circ\text{N}36^\circ$ ,  $22^\circ\text{E}28^\circ$ ) per actual repeat time expressed as unit time the average interoccurrence time ( $m_1=45$ ,  $m_1=57$  Days)

	Frequency	Repeat Times (t)								
		1	2	3	4	5	6	7	8	9
All data	$N_1$	167	34	24	8	3	2	1	0	1
	$N_{c-1}$	238	71	37	13	5	2			
Data without inter-dependent events	$N_c$	125	42	15	5	2	1	0	1	
	$N_{c-2}$	190	65	23	8	3	1			

Galanopoulos' Earthquake Recurrence Model (1988):

$$\log(N_{c2}) = 2.7473 - 0.4083t, \quad \sigma = \pm 0.045, \quad \text{for } t \leq 6$$

$$\log(N_{c2}) = 2.7252 - 0.4532t, \quad \sigma = \pm 0.010 \quad \text{for } t \leq 6$$

TABLE 6C

Distribution of percentage of earthquake occurrences in the focal volume of the whole island of Crete ( $34^{\circ}\text{N}$  $36^{\circ}$ ,  $22^{\circ}\text{E}$  $28^{\circ}$ )  
in terms of actual interoccurrence time (t)

Percentage	Repeat Times (t)						
	1	2	3	4	5	6	Total
Sample 1	70	14	10	3	1	1	99
Sample 2	66	22	8	3	1	0	100

TABLE 7

Return period range for potentially damaging ( $\text{Ms} \geq 5\frac{1}{2}$ ) and destructive shocks ( $\text{Ms} \geq 7$ )

Centres of Square Sources	Earthquake Hazard $5\frac{1}{2} \text{ M}_{\text{sh}}$ and over		Earthquake Risk $7 \text{ M}_{\text{sh}}$ and over	
	Sample 1 Years	Sample 2 Years	Sample 1 Years	Sample 2 Years
$35^{\circ}\text{N}$ , $23^{\circ}\text{E}$	0.37-2.11	0.47-2.67	11.25- 64.15	10.54-60.20
$35^{\circ}\text{N}$ , $24^{\circ}\text{E}$	0.34-1.96	0.41-2.32	8.15- 47.54	7.83-44.72
$35^{\circ}\text{N}$ , $25^{\circ}\text{E}$	0.37-1.98	0.46-2.18	14.72- 77.96	13.96-66.08
$35^{\circ}\text{N}$ , $26^{\circ}\text{E}$	0.27-1.38	0.37-1.70	14.66- 75.69	14.39-66.09
$35^{\circ}\text{N}$ , $27^{\circ}\text{E}$	0.32-1.64	0.45-1.95	18.07- 93.67	14.93-64.92
Average $2^{\circ}\times 2^{\circ}$	0.37-2.46	0.47-2.80	15.29-102.86	13.74-82.63

TABLE 8

Parameters of the earthquake potential of square sources ( $2^{\circ} \times 2^{\circ}$ ) along the focal volume of Crete ( $34^{\circ}\text{N}$  $36^{\circ}$ ,  $22^{\circ}\text{E}$  $28^{\circ}$ )

Centers of Square Sources $2^{\circ}\times 2^{\circ}$	Number of Earthquakes $\text{M}_{\geq 5\frac{1}{2}}$	Released Energy in $10^{21}$ Ergs	Return Period Range $\text{M}_{\geq 5\frac{1}{2}}$ years	$\text{M}_{\geq 7}$ years	Once per year Earthquake
$35^{\circ}\text{N}$ , $23^{\circ}\text{E}$	79	60.79	1.74	52.90	5.9
$35^{\circ}\text{N}$ , $24^{\circ}\text{E}$	92	70.69	1.62	39.39	6.0
$35^{\circ}\text{N}$ , $25^{\circ}\text{E}$	81	49.18	1.61	63.24	5.9
$35^{\circ}\text{N}$ , $26^{\circ}\text{E}$	101	54.29	1.11	61.03	6.0
$35^{\circ}\text{N}$ , $27^{\circ}\text{E}$	89	56.68	1.32	75.60	5.9
Average $2^{\circ}\times 2^{\circ}$	80	51.49	2.09	87.57	5.9

"Οπως φαίνεται άπό τὸν συνοπτικὸν πίνακα 8, τὸ σεισμικὸν δυναμικὸν ποὺ προκύπτει άπό τὸ χρονικὸν εῦρος τοῦ πραγματικοῦ χρόνου ἐπαναλήψεως τῶν σεισμῶν ποὺ εἶναι δυνατὸν νὰ προκαλέσουν βλάβες ( $M_s \geq 5 \frac{1}{2}$ ) καὶ καταστροφὲς ( $M_s \geq 7$ ) εἶναι σύμφωνο μὲ τὶς ἄλλες παραμέτρους αὐτοῦ (πλῆθος σεισμῶν, ἐκλυθεῖσα ἐνέργεια καὶ μεγαλύτερο ἐτήσιο μέγεθος σεισμοῦ\* ποὺ μπορεῖ νὰ παρατηρηθεῖ μὲ πιθανότητα 37%). Καὶ οἱ τρεῖς αὐτὲς παράμετροι εἶναι στὴν κεντρικὴ Κρήτη σχετικῶς μικρότερες άπό αὐτὲς ποὺ παρατηροῦνται τόσο στὴν δυτικὴ ὅσο καὶ στὴν ἀνατολικὴ Κρήτη.

\* Η συμφωνία ὅλων αὐτῶν τῶν παραμέτρων ὑποδεικνύει ὅτι ἡ κεντρικὴ Κρήτη φιλοξενεῖ σχετικῶς λιγότερες ἐλαστικὲς τάσεις. Αὐτὸ δῆμος δὲν μαρτυρεῖ ὅτι ὁ σεισμικὸς κίνδυνος εἶναι μικρότερος γιὰ τοὺς οἰκισμοὺς τῆς κεντρικῆς Κρήτης (βλ. εἰκ. 4).

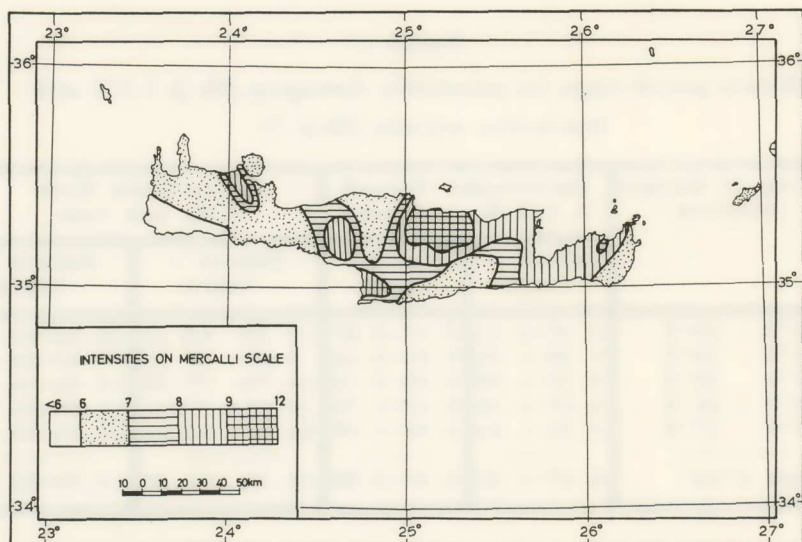


Fig. 4. Isoseismals of maximum intensity observed during the period 1800-1968.

\* Τὸ μεγαλύτερο σεισμικὸν μέγεθος ποὺ μπορεῖ νὰ παρατηρηθεῖ σὲ ὥρισμένη περιοχὴ δύναται νὰ ὑπολογισθεῖ ὡς ἀκολούθως: Εὐρίσκομεν ἀπὸ τὴν σχέση Gutenberg-Richter τὴν μέση περίοδο ἐπαναλήψεως τοῦ μεγαλυτέρου σεισμοῦ ποὺ παρατηρήθηκε κατὰ τὴν περίοδο τοῦ δείγματος, καὶ ἀπὸ τὴν σχέση Γαλανοπούλου τὸν μέγιστο χρόνο ἐπαναλήψεως αὐτοῦ. Τὸ μέγεθος τοῦ σεισμοῦ ποὺ ἀντιστοιχεῖ στὸν μέγιστο χρόνο ἐπαναλήψεως τοῦ μεγαλύτερου σεισμοῦ ποὺ παρατηρήθηκε κατὰ τὴν περίοδο τοῦ δείγματος εἶναι, πιθανῶς, τὸ μεγαλύτερο μέγεθος σεισμοῦ ποὺ μπορεῖ νὰ παρατηρηθεῖ στὴν περιοχὴ αὐτῆς. Μὲ αὐτὴ τὴν μέθοδο, τὸ μεγαλύτερο μέγεθος σεισμοῦ ποὺ μπορεῖ νὰ παρατηρηθεῖ στὶς 5 ἔξετασθεῖσες ἑστιακὲς περιοχὲς τῆς Κρήτης εἶναι κατὰ σειράν, ἀπὸ Δ πρὸς Α: 7.4, 7.6, 7.2, 7.1 καὶ 7.1, ἀντιστοίχως.

‘Ο σεισμικός κίνδυνος δέν μπορεῖ νὰ δρισθεῖ μόνο ἀπὸ τὸ σεισμικὸ δυναμικὸ τῆς περιοχῆς. ‘Ο σεισμικός κίνδυνος δρίζεται ἀπὸ πολλοὺς παράγοντες (Γαλανόπουλος, 1990) καὶ ἔξαρτάται πολὺ ἀπὸ τὸ ἔδαφος θεμελιώσεως τῶν οἰκισμῶν καὶ τὴν στάθμη τοῦ δομικοῦ πολιτισμοῦ αὐτῶν. Αὐτὸς εἶναι καὶ ὁ κύριος λόγος ποὺ ἡ πρόβλεψη τῶν σεισμῶν θεωρεῖται οὐτοπία ἀπὸ πρακτικῆς πλευρᾶς.

Γιὰ συγκριτικούς καὶ μόνον λόγους, ἀναφέρουμε ὅτι τὸ σεισμικὸ δυναμικὸ στὴν περιοχὴ Κεφαλονιᾶς-Ζακύνθου (Galanopoulos, 1987), στὸ δυτικὸ ἄκρο τοῦ ‘Ἐλληνικοῦ τόξου ( $38^{\circ}\text{N}$ ,  $21^{\circ}\text{E}$ ) γιὰ ἵση σεισμικὴ ἔκταση,  $4^{\circ}$ , εἶναι περίπου τῆς αὐτῆς τάξεως μὲ αὐτὸ ποὺ ὑπολογίζεται γιὰ τὴν περιοχὴ τῆς Κρήτης ( $2,03 - 0,25$  ἔτη γιὰ  $M_s \geq 5\frac{1}{2}$  καὶ  $76,05 - 9,33$  ἔτη γιὰ  $M_s \geq 7$ ). Στὴν περιοχὴ τῆς ‘Αττικῆς (Galanopoulos, 1989a) στὸ ἐσωτερικὸ τοῦ ‘Ἐλληνικοῦ τόξου, σὲ ἀπόσταση περίπου  $250\text{ km}$  ἀπὸ τὴν περιοχὴ συγκρούσεως τῶν πλακῶν ‘Αφρικῆς-Ἐύρωπης ( $38^{\circ}\text{N}$ ,  $23.5^{\circ}\text{E}$ ) τὸ σεισμικὸ δυναμικὸ εἶναι πολὺ μικρότερο ( $9,31 - 1,57$  ἔτη γιὰ  $M_s \geq 5\frac{1}{2}$  καὶ  $311,89 - 52,61$  ἔτη γιὰ  $M_s \geq 7$ ). Στὴν περιοχὴ τῆς Κῶ (Galanopoulos, 1987), σὲ ἀπόσταση περίπου  $200\text{ km}$  ἀπὸ τὴν ζώνη ἐπαφῆς τῶν πλακῶν Εύρωπης-‘Αφρικῆς ( $37^{\circ}\text{N}$ ,  $27^{\circ}\text{E}$ ), τὸ σεισμικὸ δυναμικὸ εἶναι μεγαλύτερο ἀπὸ αὐτὸ τῆς ‘Αττικῆς ( $2,41 - 0,37$  ἔτη γιὰ  $M_s \geq 5\frac{1}{2}$  καὶ  $214,86 - 33,04$  ἔτη γιὰ  $M_s \geq 7$ ). Οἱ διαφορὲς τοῦ σεισμικοῦ δυναμικοῦ ἐκφράζονται καλύτερα ἀπὸ τὸ εῦρος τοῦ χρόνου ἐπαναλήψεως τῶν σεισμῶν μεγαλύτερου μεγέθους ( $M_s \geq 7$ ): Κεφαλονιά-Ζάκυνθος  $76,05$  ἔτη, Κρήτη  $102,86$  ἔτη, Κῶς  $214,86$  ἔτη καὶ ‘Αττικὴ  $311,89$  ἔτη. Τὰ ἔξαργο-μενα αὐτὰ εἶναι ἰσοδύναμα σὲ ἐνέργεια μὲ ἰσάριθμα μέγιστα ἐτήσια μεγέθη σεισμῶν (once-per-year earthquakes):  $5,7 - 5,6 - 5,4$  καὶ  $5,3$  ἀντιστοίχως (Galanopoulos, 1968). Μὲ αὐτὰ τὰ δεδομένα μετὰ ἀπὸ  $100$  χρόνια ἡρεμίας ὁ μέγιστος ἀναμενόμενος σεισμὸς στὶς περιοχὲς αὐτὲς θὰ ἔχει μεγέθος:  $7,0 - 6,9 - 6,7$  καὶ  $6,6 - 6,5$  ἀντιστοίχως.

## S U M M A R Y

**Earthquake Potential Trend Along the Island of Crete**

In a multi-dislocated country with several inter-mountainous basins and fault-bounded gulf's with many near-shore cities and numerous villages built on brittle and loose sediments near-by the contact zone of two convergent plates responsible for the development of the tertiary Hellenic arc, the main structural feature of Greece, there is no site that could be considered in the long run earthquake immune.

However, the earthquake potential is not evenly distributed over the whole country. There are several factors affecting it: among them the distance of the fault region considered from the Hellenic trench, the contact zone of the overriding Eurasian plate and the underthrusting African plate. Thus, while in the long run all localities in Greece may suffer damages from earthquakes of the same maximum magnitude, the time intervals of suffering are very much different.

Therefore, the earthquake risk can not be estimated by the possible maximum earthquake magnitude that may experience a certain site. It is imperative to be also known the average repeat time and return period range for potentially damaging ( $M_s \geq 5\frac{1}{2}$ ) and destructive shocks ( $M_s \geq 7$ ).

With this philosophy in mind, an attempt is made to determine the earthquake potential trend along the island of Crete, the southern branch of the Hellenic sedimentary arc. The return period range for potentially damaging and destructive shocks in central Crete indicates an earthquake potential slightly less than that surmised for western and eastern Crete. This is in agreement with the number of shocks and the released energy during the study period (1958-1987), as well as with the once-per-year earthquake, i.e. the annual maximum magnitude that has a probability of 63% of being exceeded in one year.

The return period range for potentially destructive events allows a better insight into the earthquake potential differences in neighbouring regions. The energy corresponding e.g. to a  $7 M_s$  earthquake divided by its return period range in a certain region is equal to the minimum rate of seismic energy accumulation, or the energy corresponding to the annual maximum magnitude, i.e.

the annual minimum rate of earthquake potential of the region. However, the earthquake potential can not by itself define the earthquake risk.

The earthquake risk depends on several additional factors, among them on the focal depth, the onshore or offshore location of the source, the foundation of the site and the dominant level of building construction, i.e. the vulnerability of building structures that are lacking in ductile components, a latent and elusive structural component defect mostly unknown prior to a damaging shaking. This is the main reason why the earthquake prognosis and particularly the earthquake forecasting is considered, from practical point of view, just a very plain utopia.

#### ACKNOWLEDGMENT

The author is much indebted to Miss Maria Ntaiiana for the careful typing of the manuscript. The drafting of the figures is due to the kindness of Mrs. Litsa Skordopoulos.

#### REFERENCES

- Faugerès L., Zamani A. and V. Sabot, Analyse Morphotectonique de l' Escarpement de la Côte Occidentale de Crète, du Cap Gramvousa au Cap Krios et à Palaeochora. Ann. Geol. des Pays Hellén., Vol. 33, pp. 1-23, 1987/1988.
- Galanopoulos G. A., On Quantitative Determination of Earthquake Risk. Ann. di Geof., Vol. 21, n. 2, pp. 193-206, 1968.
- Γαλανόπουλος Γ. Α., Στοιχεῖα Σεισμολογίας καὶ Φυσικῆς τοῦ Ἐσωτερικοῦ τῆς Γῆς. Δεύτερη Ἐκδοση σ. 1-405, Ἀθῆναι 1971.
- Galalopoulos G. A., On the Difference in the Seismic Risk for Normal and Tall structures at the Same Site. Publ. Seism. Lab. Univ. Athens, pp. 1-33, 1977.
- Galalopoulos G. A. and K. C. Makropoulos. On the Accuracy of the mb-Determination from the Number of Reporting Stations. Lowering of the Magnitude Threshold and Difference in the Index of Seismic Hazard and Seismic Risk in the Area of Greece. Proceedings 2nd. Intern. Symp. on the Analysis of Seismicity and on Seismic Hazard, pp. 574-601, 1981.
- Galalopoulos G. A., On the Earthquake Activity occurring per Month in Greece. Prakt. Acad. Athenes, Vol. 60, pp. 152-180, 1985a.
- Galalopoulos G. A., Spreading of Felt Shaking of Recent Interplate Earthquakes of the Hellenic Arc in Africa (Egypt and Libya) Evidences the Reliability of Older Seismic Data. Prakt. Acad. Athènes, Vol. 60, pp. 605-624, 1985b.

- Galanopoulos G. A., Difference in the Interoccurrence Time of the Major Interplate and Intraplate Earthquakes in the Most Seismically Active Source Zones of Ionian and Aegean Region. *Prakt. Acad. Athènes*, Vol. 62, pp. 144-162, 1987.
- Galanopoulos G. A., The Earthquake Hazard in the Greater and Lesser Attica. *Prakt. Acad. Athènes*, Vol. 63, pp. 378-387, 1989a.
- Galanopoulos G. A., The Earthquake Hazard in Achaja and Particularly in a Rion-Antirrion Coupling. *Prakt. Acad. Athènes*, Vol. 63, pp. 451-463, 1989b.
- Γαλανόπουλος Γ. Α., Γιατί στις περισσότερες περιπτώσεις είναι άδύνατη η έγκαιρη πρόβλεψη των βλαβερῶν σεισμῶν. *Πρακτ. Ακαδ. Αθηνῶν*, Τομ. 64, σ. 318-329, 1990.
- Gutenberg B. and C. F. Richter, Seismicity of the Earth, Geol. Soc. Am. Spec. Pap. 34, pp. 1-33, 1941.
- Laborel J., Pirazzoli P. A. and J. Thommeret & Y. Thommeret, Holocene Raised Shorelines in Western Crete (Greece). Proceedings, 1978 Intern. Symp. on Coastal Evolution in the Quaternary, pp. 475-501, San Paulo, Brasil, 1979.
- Le Pichon X. and J. Angelier, The Hellenic Arc and Trench System. A Key in the Neotectonic Evolution of the Eastern Mediterranean Area. *Tectonophysics*. Vol. 60, pp. 1-42, 1979.
- Montaggioni L. P., Pirazzoli P. A., Laborel J. et J. & Y. Thommeret, Rivages Tyrrhéniens et Historiques à Strongilo et dans le Sud-Est de la Crète (Grèce). Actes du Colloque «Niveaux Marins et Tecton. Quater. dans l'Aire Medit.» Paris 1980. Centre Nat. de la Rech. Sci. et Univ. de Paris I. pp. 67-76, 1981.
- Raulin V., Description Physique et Naturelle de l' île de Crète. Arthus Bertrand. 3 Vol. 3, pp. 1078, Paris 1896.
- Spratt T. S., Travels and Researches in Crete. J. Van Voorst. Vol., 2 London, 1865.
- Thommeret Y. & J., Laborel J., Montaggioni L. F. and P. A. Pirazzoli, Late Holocene Shoreline Changes and Seismo-tectonic Displacements in Western Crete (Greece). *Z. Geomorph. N. F.*, Suppl. Bd. 40, pp. 127-149, Berlin-Stuttgart, December 1981a.
- Thommeret Y. & J., Pirazzoli P. A., Montaggioni L. F. and J. Laborel, Nouvelles Données sur les Rivages Soulevés de l' Holocène dans l' Uest de la Crète. *Oceanis*. Vol. 7, Fasc. 4, pp. 473-480, 1981b.
- Zamani A. and H. Maroukian, A Morphotectonic Investigation in Northwestern Crete: The Peninsula of Acrotiri. *Z. Geomorph. N. F.*, Suppl. Bd. 40, pp. 151-164, 1981.